

TEHNUM

REVISTĂ PENTRU
CONSTRUCTORII
AMATORI

FONDATĂ ÎN ANUL 1970, SERIE NOUĂ
ANUL XXX, Nr. 327

1
2000

EMITĂTOR PENTRU
TELECOMANDĂ

INDICATOR
AUTO

TESTER
PENTRU
BATERIE

SURSĂ
DE CURENT
CONSTANT

CALCULUL
TRANSFORMATOARELOR
DE RETEA

SPECIAL AUTO

Ce trebuie să stim despre
INSPECTIILE TEHNICE PERIODICE

SERVICE

Radioceptorul
ROYAL 1

Carpantele din grinzi de lemn din podul casei, precum și unele aflate în pivnită ori în aer liber (magazii, garduri...) trebuie revizuite, întreținute și reparate în fiecare an. Se recomandă să se procedeze astfel:

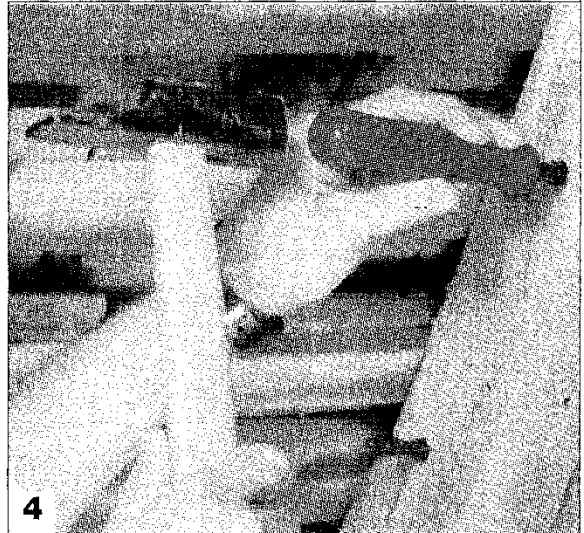
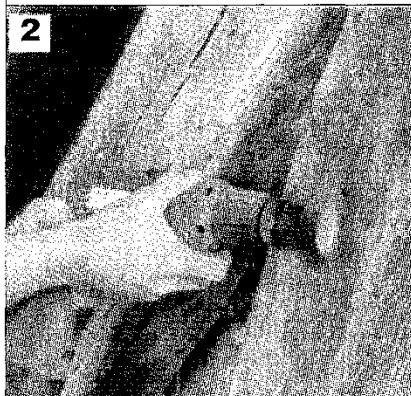
1. Se va încerca (folosind vârful unui cutit) dacă lemnul este încă solid sau pe ce adâncime a fost, eventual, afectat de factori dăunători (putrezire, ciuperci, insecte...). În cazul în care cuțitul patrunde ușor în lemn, grinda respectivă va fi înlocuită în întregime cu una nouă. Preferați lemn de salcâm sau stejar.

2. Dacă este deteriorată doar la suprafață, se va proceda la îndepărțarea stratului superior printr-o periere energetică, fie cu un burete sau o perie de sărmă, fie cu o perie rotundă montată în mandrina unei mașini electrice de găurit (bormasina).

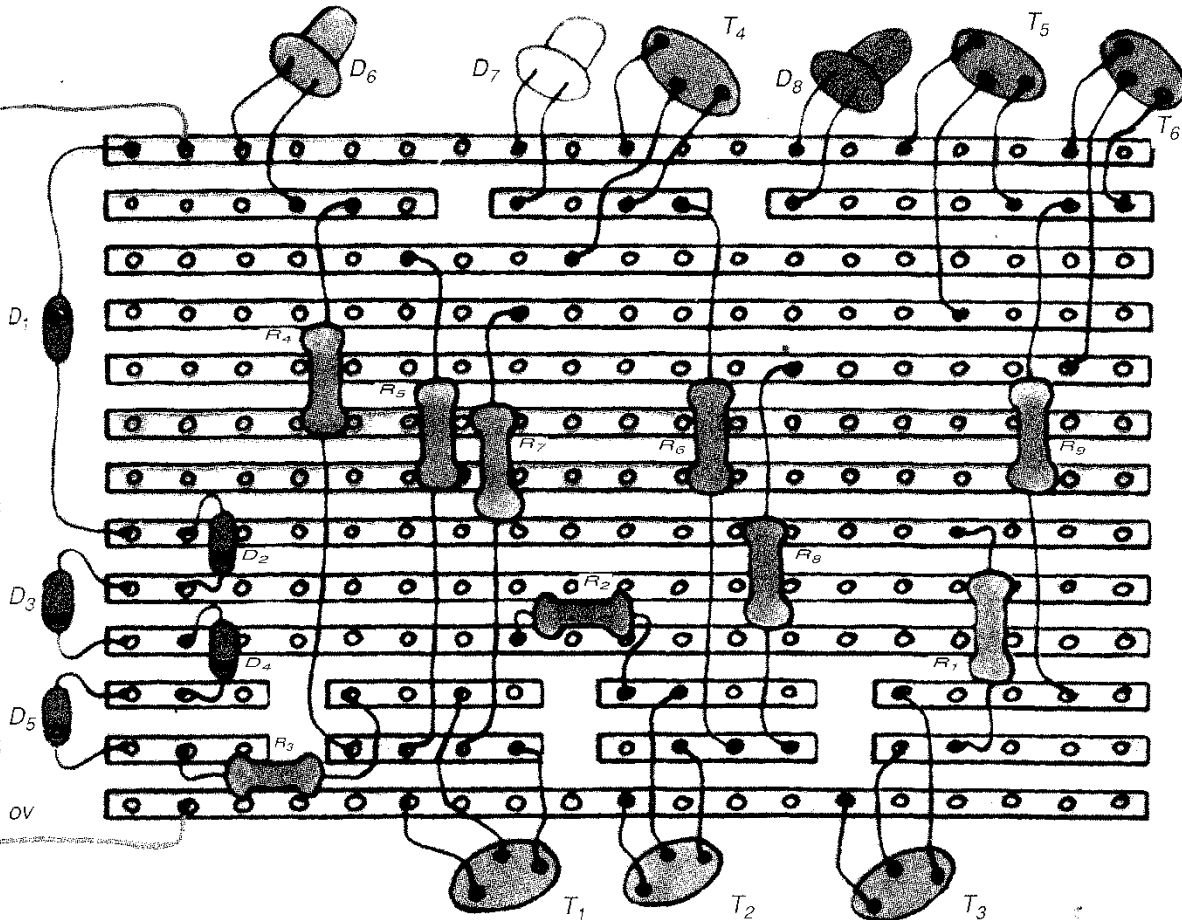
3. Când stratul de la suprafață este, totuși, ceva mai adânc distrus, lemnul va fi raschetat cu o teslă până când se va ajunge la materialul sănătos.

4. Dacă grinda a plesnit, pările vor fi consolidate prin introducere de suruburi pentru lemn sau cu piuliță (prin orificii date cu burghiu). În crăpături mai mari pot fi introduse, mai întâi, substanțe și chituri siliconice adezive.

5. În final, suprafața lemnului va fi protejată fie prin stropire sau pensulare cu soluție de sulfat de cupru (fungicid), fie prin văruire sau chiar vopsire.



TESTER pentru BATERIE

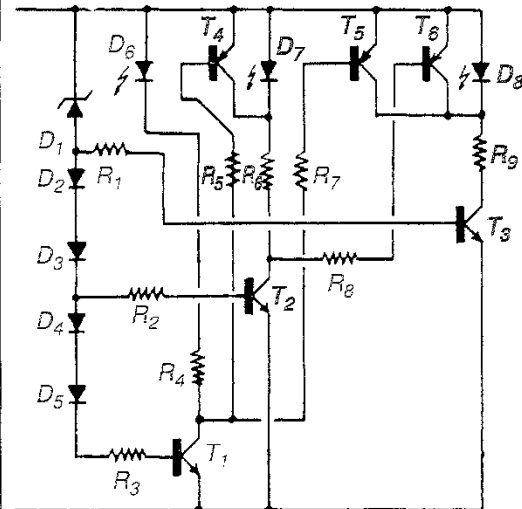


Într-un automobil, unul din elementele cele mai importante este bateria. În cele ce urmează vom vedea cum se poate controla electronic acest element. Pentru aceasta, vom construi un montaj simplu, care are capacitatea de a indica starea medie de încărcare a bateriei și eventual de a avertiza apariția unor defectiuni. Vizualizarea acestei stări se face cu ajutorul unui sistem de LED-uri (diode electroluminiscente). Un LED de culoare verde ne va indica un regim normal de încărcare a bateriei. Un altul, galben, va semnaliza că bateria are o tensiune aproape normală, adică 12 V (de fapt, o baterie bună are aproape 14 V). În fine, un LED de culoare roșie se aprinde când tensiunea este de circa 10 V, indicând, în acest caz, fie o epuizare a bateriei, fie o întindere necorespunzătoare la curea sau alternatorului.

Studind schema, constatăm că bateria furnizează curentul necesar pentru funcționarea montajului. Detectarea tensiunii de la bornele bateriei se face printr-un lanț de diode. Ansamblul celor șase tranzistoare funcționează în comutare, adică blocate sau deschise. T1, T2 și T3 comandă aprinderea LED-urilor, în timp ce T4, T5 și T6 stingerea lor. O combinație judicioasă a acestor tranzistoare permite alimentarea unui singur LED în același timp. Câtă vreme tensiunea la bornele bateriei rămâne sub 10,6 V, T3 intră în conductie, celelalte tranzistoare rămânând blocate. D8, care este LED-ul de

COMPONENTE

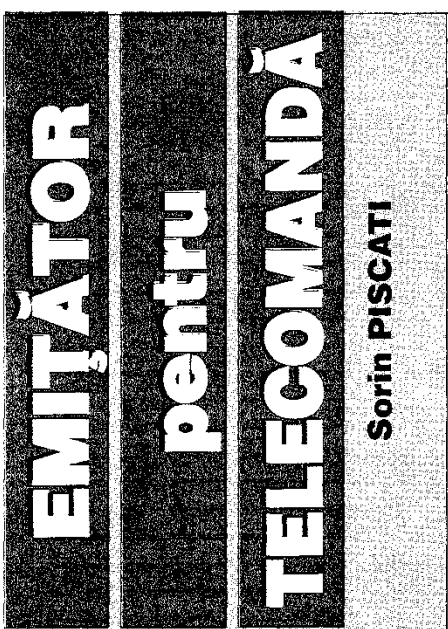
R1=1 kΩ
 R2=R3=R4=R6=R9=R11
 R5=6,8 kΩ
 R7=R8=R5
 D1=diodă Zenner 10 V
 D2=D3=D4=D5=1N414
 8 sau 1N914
 T1=T2=T3=1N1711 sau
 AC 181 K
 T4=T5=T6=2N 2905
 sau AC 180 K
 D8=LED roșu
 D7=LED galben
 D6=LED verde



culoare roșie, în acest caz, se aprinde. Dacă tensiunea depășește 12 V, T3 va răma în conductie, autorizând T2 să intră și el în conductie, astfel încât D7 (LED-ul galben) să se aprindă. Dar, în acest caz, T6, care până atunci era blocat, se deschide și scurtcircuitează pe D8 (LED-ul roșu). Astfel, numai D7 va fi aprins. Același rationament pentru T3, care intră în conductie la 13,4 V, aprinde D6 (LED-ul verde), cu D7, D8 stinse.

In ceea ce privește utilizarea montajului, este important de notat că,

dacă tensiunea bateriei se găsește la un nivel de „tranzit”, vor bascula două LED-uri, iar ultimul LED aprins va lumina cu o intensitate mai slabă. În acest caz, vizualizarea este mai puțin comodă, mai ales dacă lumina ambientă este puternică. Pentru a verifica în acest caz la ce nivel se găsește bateria, este suficientă, de exemplu, oprirea motorului, punerea lui în funcțiune, branșarea farurilor... În sfârșit, a face să funcționeze tot ce este susceptibil să modifice potențialul la bornele acumulatorului.



În numărul 8/1999 al revistei am descris un receptor de telecomandă modulat în amplitudine (MA), care funcționează în banda de 27MHz.

Emitatorul descris în acest articol poate lucra împreună cu receptorul respectiv, constituind o stație de telecomandă digital-proportională cu sase canale (comenzi).

Cu această stație se pot comanda prin radio diverse aeromodele, navamodele și automodele, raza de acțiune fiind de cca 1 km sol-aer și aproximativ 500 m sol-sol sau sol-apă. Bine realizată și corectă reglată, această aparatul va da satisfacție majorității constructorilor amatori.

Schela de principiu a emitorului este prezentată în figura 1. După cum se vede, este o schéma tranzistorizată clasică, montată pe un circuit imprimat din sticlorexitol placat cu cupru pe o singură față.

Partea de radiofrecvență este alcătuită din trei etaje, și anume:

1. Oscilatorul

Este un oscilator Pierce, cu circuitul acordat (L_1 , C_1) montat în colectorul tranzistorului T_1 . Între colectorul și baza acestui tranzistor oscilator (BF173, 2N916 sau 2N2369A) este conectat cristalul de quart, preferabil prin intermediul unui soclu adecvat. Factorul de amplificare în curent β al tranzistorului oscilator va fi cuprins în domeniul 75-100.

2. Etajul amplificator-separator

Semnalul de radiofrecvență generat de oscilator este transmis etajului separator-amplificator prin intermediul condensatorului ceramic C_2 . Tranzistorul T_2 al acestui etaj (buffer) este de tipul BF173, 2N916, 2N2369 A, cu un factor de amplificare β cuprins între 50 și 75. În colectorul acestui tranzistor este inserat circuitul oscillant L_2C_3 (fig. 1).

3. Etajul de putere

În aceste condiții, semnalul de radiofrecvență, amplificat și modulat, atacă, prin condensatorul ceramic C_4 , baza amplificatorului final de putere, echipat cu tranzistorul T_3 . Acest tranzistor este de tipul BD135, 2N3553 sau și mai bine C1815.

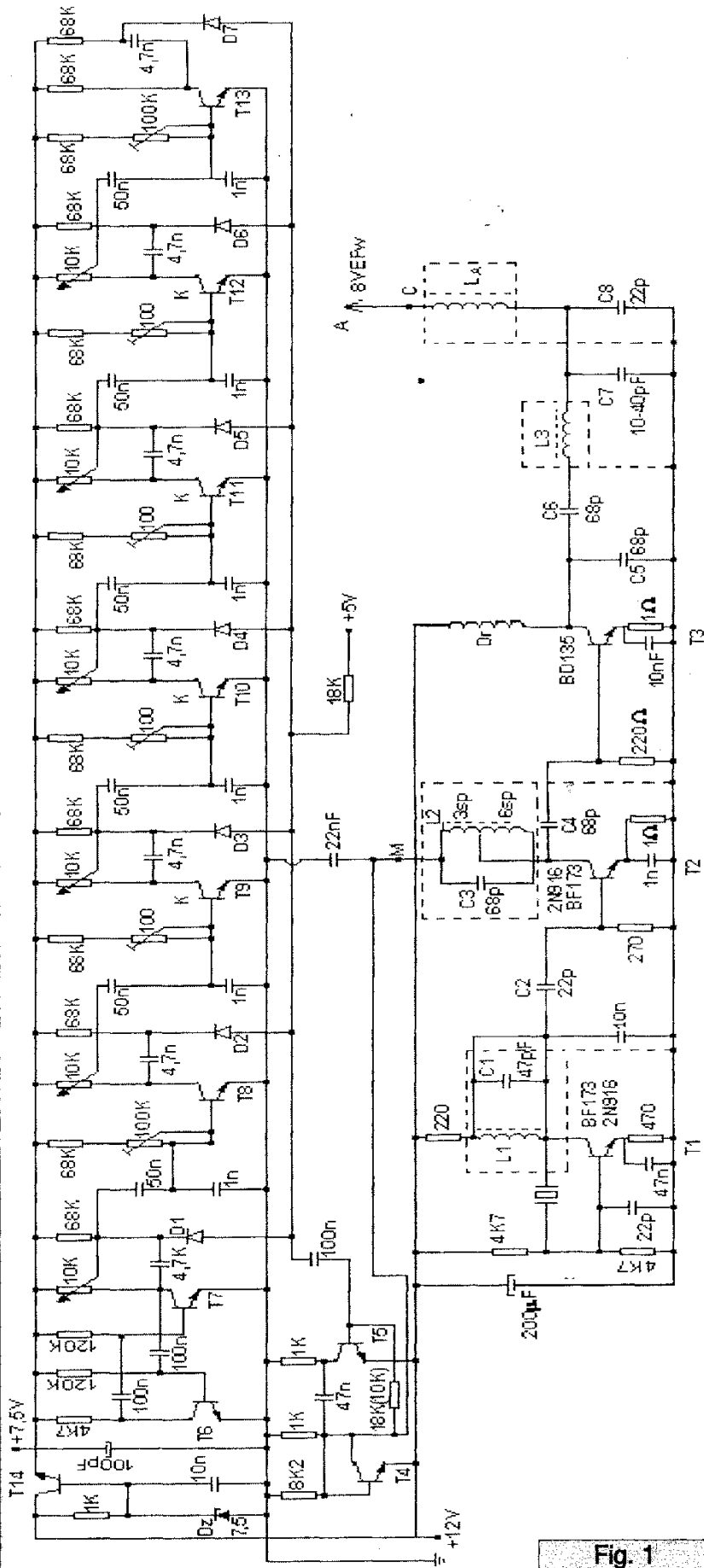


Fig. 1

Tranzistorul final T3 trebuie prevăzut cu radiator termic, astfel încât temperatura carcsei sale (și, implicit, a radiatorului termic atașat) să nu depășească niciodată $55-60^{\circ}\text{C}$. Colectorul finalului este legat la plusul bateriei de alimentare (10 acumulatoare Cd-Ni de 0,6-0,9Ah inseriate) prin intermediul socului de radiofrecvență D1. În colectorul tranzistorului de putere T3 este conectat un filtru Collins, constituit din condensatoare ceramice C5, C6, C7, C8 și bobina L8. La acest filtru se racordează antena emițătorului prin intermediul bobinei de acord L_A .

Modulatorul emițătorului (fig. 1) se compune dintr-un circuit astabil realizat cu tranzistoarele T6, T7 și sase monostabile T8-T13 conectate de o manieră deosebită. Semnalele transmise prin lanțul de diode D1-D7 etajului final de joasă frecvență T4, T5, după amplificarea corespunzătoare, modulează în impulsuri înaltă frecvență generată de oscillatorul T1 și transmisă mai departe bufferului T2.

Pentru ca amplitudinea și frecvența semnalelor generate de codificatorul T6-T13 să nu fie influențate de variațiile tensiunii bateriei de alimentare, a fost introdus stabilizatorul T4-Dz7,5 V.

Construcția montajului

Toate piesele vor fi lipite cu cositor pe o placă de circuit imprimat placat pe o singură față. Este de preferat ca suportul cablajului să fie din sticlotextolit cu grosimea de 2-3 mm. Tranzistoarele T8-T13 vor fi de același tip (BC170, 171 sau 172). Coeficientii de amplificare în curent (β) ai acestor tranzistoare trebuie să fie cât mai apropiati ca valoare. Indicate sunt tranzistoarele cu $\beta=75-80$.

Rezistențele recomandate sunt chimice (nu cu peliculă metalică, bobine sau de altă natură), cu puterea de 0,1-0,25 W. Vor fi verificate toate, prin măsurarea valorii reale cu un ohmimetru (clasa de precizie de 1-1,5%) analogic sau numeric. Valorile reale, măsurate, nu trebuie să difere cu mai mult de $\pm 5\%$ față de cele indicate în schema de principiu din figura 1. Valorile reale ale rezistențelor din etajele care se repetă (de exemplu, rezistențele de $68 \text{ k}\Omega$ din bazele tranzistoarelor T8-T13) nu trebuie să difere între ele cu mai mult de 1%. În ceea ce privește rezistențele chimice de $1 \text{ }\Omega$ din emitoarele tranzistoarelor T2 și T3, ele vor fi de 0,5 W.

Potențiometrele de comandă cu valoarea de $10 \text{ k}\Omega$ din colectoarele tranzistoarelor T7-T12 vor fi liniare (în nici un caz logaritmice sau exponentiale), de preferință "Cermet". Axul lor va fi de $\varnothing 4 \text{ mm}$, cu excepția celui de cărmă. Potențiometrul cărmelui fiind frecvent utilizat, este bine să aibă axul de $\varnothing 6 \text{ mm}$, pentru a fi mai robust. Din practică a rezultat că potențiometrele cu axul de $\varnothing 4 \text{ mm}$ montate în comanda cărmelui (direcției) capătă joc după un timp scurt de utilizare. Acest joc este nedorit, deoarece cărma (direcția) modelului nu mai revine pe centru și conducedrea (mai ales a celor rapide) devine greoaie, uneori chiar imposibilă, atunci când jocul la axul potențiometrului de

comandă depășeste o anumită limită. Axul potențiometrului cărmelui este solicitat nu numai de acționarea frecventă a sa, dar și de mecanismul de readucere în poziția de mijloc a comenzi (cărmei).

Condensatoarele electrolitice de 100 și $200 \text{ }\mu\text{F}$ vor avea tensiunea de lucru cuprinsă între 17 și 25 Vcc. Dacă dimensiunile permit, se vor prefera condensatoare cu tensiunea de lucru de 25 V. Nu se recomandă în acest caz utilizarea condensatoarelor cu tantal (mai ales a celor „picătură”), deoarece din practică a rezultat că se clachează destul de frecvent, chiar la tensiuni mult mai mici decât cele înscrise pe carcasa lor. Riscul defectării acestor condensatoare crește cu cât tensiunea de lucru se apropii de cea maxim admisibilă, dar apăr defectări frecvente și la tensiuni de lucru mult mai mici. Condensatoarele de $22,47$ și 68 pF vor fi ceramice (disc). Tot ceramice, disc vor fi și condensatoarele de $1,47$ și 10 nF , iar cele de $47,50$ și 100 nF vor fi cu poliester sau multistrat. Se recomandă ca valorile reale ale tuturor condensatoarelor din componenta emițătorului să fie verificate cu un capacimetru.

Diodele D1-D7 sunt de tipul 1N4148 sau 1N4448.

Potențiometrele semireglabile de $1\text{--}100 \text{ k}\Omega$ din bazele tranzistoarelor T8-T13 trebuie să fie pe suport ceramic.

Toate bobinele părții de radiofrecvență vor fi cu miez reglabil. Carcasele vor avea diametrul exterior $\varnothing 6 \text{ mm}$. Sunt recomandabile bobinele cu miez adecață din aparatele de radio sau televizoare, bobine care lucrează, în acele montaje, la frecvențe de 25-40 MHz (de exemplu, mediile frecvențe ale televizoarelor alb-negru tranzistorizate). Pentru bobine se va utiliza sârmă din cupru izolată cu email. Diametrul sărmelui va fi de $0,5\text{--}0,6 \text{ mm}$. Infăsurările vor fi executate spiră lângă spiră. Bobina L1 va avea 8 spire, $L_2=3+6$ spire, $L_3 = 11$ spire, iar $L_4=8$ spire.

O remarcă importantă: toate bobinele ($L_1\text{--}L_4$) vor fi introduse în carcase metalice, legate la masa (borna de minus) cablajului. În caz contrar apar oscilații parazite, mixaje nedorite, care alterează buna funcționare a montajului.

Emitătorul va fi încasetat, împreună cu manșete de comandă și sursa de alimentare, într-o carcăsă metalică (din tablă de aluminiu) legată la borna de minus a sursei de alimentare.

Reglarea emițătorului

Reglarea corectă a emițătorului este esențială: trebuie efectuată cu atenție șimetică. Oricât ar fi de bine executat, fără un reglaj corespunzător, emițătorul va avea o funcționare mediocre, iar în multe cazuri, practic nu va putea fi utilizat.

Pentru efectuarea reglaželor, sunt neapărat necesare trei apărate de măsură și anume:

1. Avometru numeric sau analog, pentru măsurarea tensiunilor, curentilor și rezistențelor ohmice. Ex. MAVO-35 fabricat de IAM Timiș;

2. Osciloscop. Ex. E0104M fabricat de IEMI - București;

3. Frecvențmetru numeric, care să poată măsura frecvențe și în banda de 27MHz (25-30 MHz). Ex. E0206 - Numărător universal fabricat de IEMI - București.

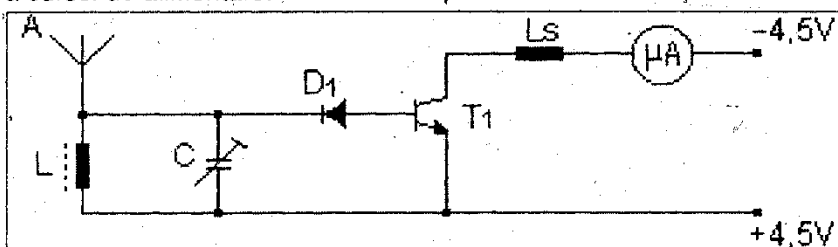
De asemenea, sunt foarte utile un măsurător de câmp (fig. 2) prevăzut cu o antenă de cca 40 cm lungime și un receptor cu simplă detectie (fig. 3), ale cărui ieșiri se racordează la bornele de intrare ale osciloscopului. Antena acestui receptor este un conductor multifilar izolat în plastic (cablu de conexiuni) cu secțiunea utilă de $0,7\text{--}1 \text{ mm}^2$ ($\varnothing = 0,5\text{--}1,2 \text{ mm} \rightarrow$ fără izolare). Acest fir va înconjura la bază (o spiră) antena emițătorului; practic, se va face un simplu nod peste antena emițătorului.

Fără această aparată nu se poate face un reglaj corect al emițătorului și în consecință funcționarea acestuia va fi defectuoasă.

Amatorul constructor trebuie să se asigure mai întâi că poate dispune de această aparată și numai după aceea să înceapă construcția emițătorului de telecomandă care face obiectul acestui articol.

Autorul menționează că, începând cu acest articol, aparaturile de comandă ce vor fi descrise în numerele viitoare vor fi tot mai complexe și mai performante, iar prețul lor de cost și dificultățile de realizare vor crește. Realizarea unor astfel de stații de telecomandă, cu performanțe deosebite, la nivelul celor industriale, realizate de firme consacrate, nu va fi posibilă fără utilizarea unei aparaturi de măsură și control adecvate, din care în nici un caz nu pot lipsi osciloscopul cu dispozitiv încorporat de etalonare și frecvențmetrul numeric.

Revenind la obiectul acestui articol, reglajul emițătorului începe cu partea de radiofrecvență.



$L = 11$ spire CuEm $\Phi 0,6$
pe o carcăsă $\Phi 7 \text{ mm}$
 $C = 10 + 60 \text{ pF} \rightarrow$ ceramic
 $D = EFD 107; ED 108$ etc.

L_s = Bobină de soc
 $T_1 = \pi 403; EFT 117; EFT 119$
 $\mu\text{A} =$ Microampmetru de 45-50 μA
(de la casetofoane sau magnetofoane)

Fig. 2

CONSTRUCȚIA NUMĂRULUI

1. În acest scop, se conectează circuitul oscilant L2C3 la +12 Vcc; Punctul "M" se leagă la +12 Vcc (fig. 1).

2. Se racordează antena telescopică la filtrul Collins al etajului de putere, prin intermediul bobinei de adaptare L_A . (Practic baza antenei se leagă la capătul liber - C - al bobinei L_A).

Prin legarea punctului „M” la borna de +12 V se elimină influența codificatorului asupra părții de radiofrecvență; cu alte cuvinte, se elimină modulatia.

3. Se alimentează montajul.

4. Se conectează frecvențmetrul, prin intermediul unui condensator de 22-100 pF, în colectorul tranzistorului T1. Tresa metalică a sondel osciloskopului se leagă la borna de minus (masă) emițătorului.

5. Se rotește într-un sens sau altul miezul bobinei L1, până când apar oscilațiile de radiofrecvență. Frecvențmetrul trebuie să indice exact frecvența quartului. Dacă pe carcasa quartului, de exemplu, este inscripționată valoarea 27,145 MHz, frecvențmetrul trebuie să indice aceeași valoare. În al doilea rând, indicația frecvențmetrului trebuie să rămâne stabila (până la valoarea zecilor de hertz). Astfel, în exemplul de mai sus, unde $f=2714500$ Hz, numai ultimele două cifre pot să se schimbe pe ecranul frecvențmetrului. Dacă nu se întâmplă acest lucru, rezultă că frecvența oscilatorului nu este controlată prin quart și sunt prezente frecvențe parazite. În acest caz trebuie revăzut montajul oscilatorului. Se poate întâmpla ca frecvența indicată de frecvențmetrul numeric (care se presupune că este în perfectă stare de funcționare) să difere cu 1-2 kHz de frecvența inscripționată pe carcasa cristalului de quart. Această situație se întâlnește de obicei la quarturi de fabricație autohtonă, dar și la cele străine. Dacă diferența nu depășește 2 kHz, quartul se poate folosi fără nici un impediment. Dacă ecartul de frecvență depășește această limită (2 kHz), cristalul nu trebuie utilizat.

6. Din momentul apariției oscilațiilor, se rotește în continuare miezul bobinei L1 până când acestea dispar. Se rotește în sens invers miezul bobinei L1, cu jumătate din numărul de rotații ale miezului dintre momentele apariției și, respectiv, dispariției oscilațiilor. Exemplu: dacă miezul bobinei s-a rotit (între cele două limite) cu trei ture, atunci el va fi rotit în sens invers 1,5 ture.

7. Se conectează și se deconectează alimentarea montajului

de câteva ori la rând. Oscilatorul trebuie să pornească prompt, iar frecvența oscilațiilor să fie stabilă, în condițiile menționate mai sus. Dacă și aceste condiții sunt îndeplinite, se fixează miezul bobinei de carcăsă, turnându-se ceară sau parafină topită. Cu aceasta, operațiunile de reglare și punere la punct a oscilatorului părții de emisie sunt încheiate.

8. În continuare, se conectează condensatorul (ceramic) de 22-100 pF, de la intrarea frecvențmetrului numeric, în colectorul tranzistorului T2.

9. Se apropie antena indicatorului de câmp, a cărui schemă este prezentată în figura 2, de antena emițătorului la o distanță de cca 30 cm. Antena indicatorului de câmp poate fi o spira de bicicletă cu lungimea de 30-40 cm. Se rotește miezul bobinei L2, urmărindu-se concomitent ecranul frecvențmetrului și acul microampermetrului, indicatorul de câmp. Frecvența trebuie să fie identică cu cea a oscilatorului, iar acul instrumentului indicatorului de câmp să devieze în sensul creșterii câmpului electromagnetic generat de emițător și radiat de antena acestuia. Dacă acul instrumentului indicatorului ajunge la cap de scală, aparatul (indicatorul de câmp), trebuie îndepărtat până când acul indicator revine aproape de începutul scalei. Se rotește în continuare miezul bobinei L2 până când indicatorul de câmp, după ce a atins un maxim, tinde să revină. Dacă și frecvența de oscilație indicată de frecvențmetru este stabila și identică cu cea a oscilatorului, totul este în regulă și se trece la reglajul filtrului π (Collins). Dacă însă apare o altă frecvență pe afişajul frecvențmetrului (de ex. 37,19 MHz), instabilă, uneori alternând cu frecvența utilă, se regleză miezul bobinei L2 până când afişajul aparatului indică numai frecvența utilă (și stabila).

Stabilitatea frecvenței și lipsa unor oscilații parazite reprezintă condiția esențială pentru funcționarea corectă a întregului ansamblu, chiar dacă intensitatea semnalului emis se diminuează într-o oarecare măsură și, în consecință, indicatorul de câmp indică o valoare mai mică a acestuia.

10. Se regleză în continuare filtrul π (C5, C6, C7, C8 și L3) rotind miezul bobinei L3 și condensatorul semi-reglabil, ceramic C7. Frecvențmetrul numeric se va conecta în colectorul tranzistorului T3 prin intermediul același condensator de 22-100 pF.

11. Se îndepărtează la 1-2 metri

indicatorul de câmp, deoarece, în timpul reglării etajului final, la un moment dat, puterea semnalului radiat de antenă crește brusc. Păstrându-se aceeași condiție esențială a stabilității frecvenței, se regleză miezurile bobinelor L3 și L4 și condensatorul C7, până când indicatorul de câmp indică un maxim. Este evident că indicatorul de câmp va fi îndepărtat, de fiecare dată, la distanță necesară.

12. Cu montajul electronic introdus în cutia metalică a emițătorului și antena cuplată la bobina L_A , se vor încerca mici rețușuri în acordarea circuitelor oscilante din colectoarele tranzistoarelor T2 și T3 astfel încât, în condițiile de stabilitate a frecvenței utile și a lipsei oricărui frecvență parazită, puterea semnalului radiat de antena telescopică, complet depliată, a emițătorului să fie maximă. Se recomandă ca reglajele de mai sus să se facă după terminarea executiei montajului și introducerea lui în carcăsă.

De remarcat că indicatorul de câmp poate să indice o valoare mai mare a semnalului radiat, dar, dacă frecvența nu este stabilă (din cauza oscilațiilor parazite), raza de acțiune a emițătorului este mică și de cele mai multe ori nesatisfăcătoare, cu tot consumul ridicat al montajului. De aceea se vor regla etajele prefinal și final la o valoare maximă a căstigului, dar în condițiile stabilității frecvenței utile și neapariției altor semnale sau oscilații parazite. Frecvențmetrul trebuie să indice în tot lantul (T1, T2, T3 și la baza antenei) aceeași frecvență, stabila și egală cu cea inscripționată pe carcasa cristalului de quart în cazul exemplului dat → 27,145 MHz.

13. Cu montajul sub tensiune, se scoate quartul din soclu; în acest caz nu trebuie să existe nici o oscilație. Acest lucru se constată, în principal, cu frecvențmetrul numeric și în anumite situații cu indicatorul de câmp, atunci când autooscilația parazită are frecvența de bază sau o armonică a acesteia în apropierea frecvenței utile. În acest caz, se înlocuiesc, pe rând, începând cu finalul, tranzistoarele T1-T3 cu altele, al căror β este mai mic. Radiația parazită se poate datora însă și amplasării necorespunzătoare a pieselor pe cablajul imprimat. De aceea, pentru lămuriri suplimentare, amatorii interesati pot lua legătura cu autorul articolului, prin intermediul redacției revistei. Autorul poate da orice fel de lămuriri referitoare la construcția și reglajele acestui montaj, astfel încât constructorii amatori interesati să nu facă cheltuieli inutile, realizând un emițător care nu funcționează sau funcționează defectuos.

Cu aceasta, reglajul părții de radiofrecvență a emițătorului este încheiat și se pot fixa miezurile bobinelor L2, L3 și L_A cu ceară albă sau parafină topită.

Este recomandabil ca spirele infășurărilor L1, L2, L3, L_A și droșelul Dr să fie și ele rigidizate prin pensulare cu lac incolor (nitro sau ulei). Lacul pe bază de ulei se usucă mai greu, dar, calitativ, este de preferat. Se va avea grija deosebită ca lacul să nu pătrundă în interiorul carcasei bobinei, deoarece

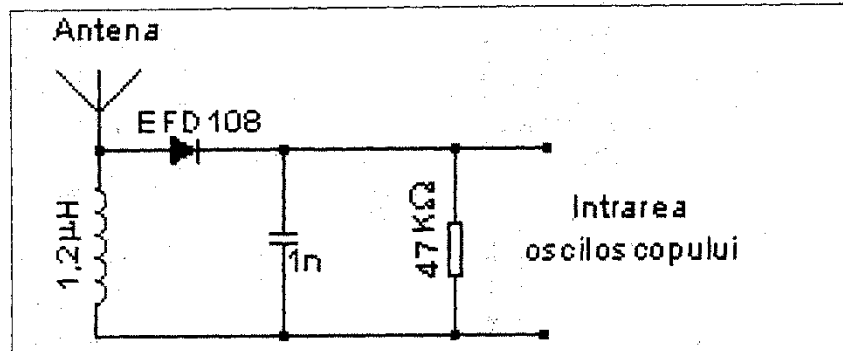


Fig. 3

rigidizează miezul și în acest caz bobina trebuie înlocuită, deoarece reglajul inductanței acesteia devine imposibil de efectuat.

Droselul Dr (fig. 1) este un soc de radiofrecvență și conține 30-40 de spire din sârmă CuEm Ø 0,2-0,25 mm bobinată una lângă cealaltă, într-un singur strat, pe un baston de ferită cu diametrul de 2 mm. Spirele se rigidizează cu lac incolor. După montarea droselului pe cablajul imprimat (în poziție orizontală), se pensulează din nou cu puțin lac incolor astfel încât acesta să se fixeze și mai bine de cablaj.

În același mod este recomandabil să se fixeze suplimentar (nu numai prin intermediul conexiunilor) și bobinele L1-L3 și L_A.

Terminând reglajul părții de radiofrecvență a emittorului, se poate trece la reglajul codificatorului acestuia.

In acest sens, se vor executa următoarele operații:

1. Se desurvează antena telescopică, deoarece nu mai este necesară în timpul procesului de reglare a codificatorului.

2. Se scoate din soclu cristalul de quart.

3. Se desface legătura provizorie (punctul „M”) dintre circuitul oscilant L2C3 și borna de +12 V a montajului.

4. Se reface legătura normală, conform schemiei din figura 1.

5. Se alimentează montajul.

6. Cu un voltmetru (MAVO) de curent continuu, se măsoară tensiunea dintre emitorul tranzistorului T14 (BC170, BC171, BC107, BC108) și masa montajului. Această tensiune trebuie să fie de 6,5-6,8 Vcc și să rămână constantă pentru variații ale tensiunii de alimentare cuprinse între 10 și 16 V.

7. Se cuplează direct (galvanic) sonda osciloskopului în colectorul tranzistorului T7. Tresa metalică a sondei osciloskopului, tresă legată prin construcție la masa acestuia, se leagă la masa montajului. De obicei această tresă este prevăzută cu un mic clește „crocodil”.

8. Pe ecranul osciloskopului trebuie să se vadă un semnal asemănător cu cel reprezentat în figura 4.

9. Dacă totul este în regulă, se cuplează osciloscopul în același mod în colectorul tranzistorului T8. Pe ecranul osciloskopului trebuie să apară semnalul din figura 5. Actionând manșa potențiometrului de 10 kΩ (potențiometru liniar) din colectorul tranzistorului T7, lungimea semnalului trebuie să varieze între 1,1 ms și 2,3 ms. În poziția mijlocie a manșei, lungimea semnalului util (Tu) trebuie să fie de 1,7 ms.

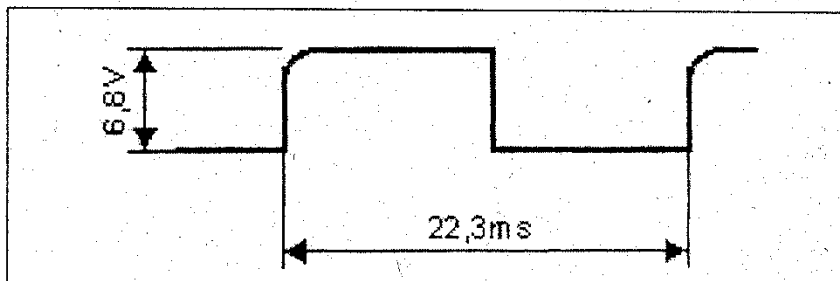


Fig. 4

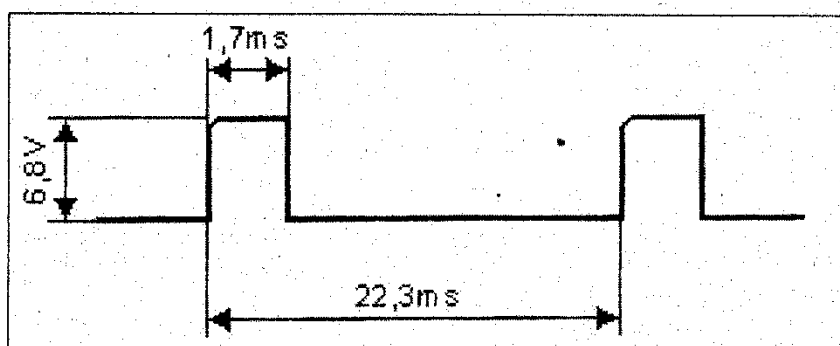


Fig. 5

Reglajul lungimii semnalului de comandă și sincronizare

Se rotește axul potențiometrului de 10 kΩ din colectorul tranzistorului T7 până când lungimea semnalului în colectorul tranzistorului T8 (măsurat cu osciloscopul) este de 1,7 ms.

Se solidarizează axul potențiometrului cu manșa de comandă. Aceasta trebuie să fie situată în poziția mediană. Se aduce manșa în una din pozițiile extreme. Dacă lungimea semnalului scade, atunci în acea poziție extremă a manșei de comandă va trebui să aibă 1,1 ms. Dacă nu se obține această valoare, atunci se actionează semireglabilul de 100 kΩ, din baza tranzistorului T8.

10. În același mod se reglează și etajele (monostabilele) T9-T13.

11. În final se conectează osciloscopul în punctul „M” (fig. 1).

12. Cu manșele în poziție mediană, semnalul în punctul „M” trebuie să fie cel din fig. 6. Se va da mare atenție lungimii perioadei de sincronizare Ts. Dacă aceasta este mai mică, se va mări cu 10-33 nF valoarea condensatorului de 100 nF dintră colectorul lui T6 și baza tranzistorului T7. Practic, se conectează în paralel cu acesta un condensator cu valoarea cuprinsă între 10 și 33 nF (după caz). Obținându-se lungimea necesară a perioadei de sincronizare Ts, cele

două condensatoare pot fi înlocuite cu un al treilea, care însumează capacitatea primelor două.

Este evident că se poate cupla încă de la început osciloscopul în punctul „M”, reglajele urmând să se facă pentru fiecare etaj, al decodificatorului în parte. În acest caz, metodologia descrisă mai sus ar părea inutilă. În practică, ea trebuie aplicată, însă, deoarece pot apărea defectiuni în montaj; capacitatea cu valori mai mari sau mai mici, lipituri incorecte, inversarea conexiunilor la tranzistoare, dezlipirea capetelor unor rezistențe chimice etc. Urmărind pas cu pas semnalele, din etaj în etaj, descoperirea și înălțarea acestor defectiuni se realizează mult mai ușor.

13. În final, cu un servomecanism de fabricație industrială (Simprop, Sanwa Graupner, Futaba etc.) se verifică încă o dată dacă semnalele generate de modulator (codificator) sunt corecte.

Pentru aceasta, se introduce quartul în soclu său și se cuplează servomecanismul respectiv la primul canal al receptorului corespondent (unul din receptoarele descrise în numerele anterioare ale revistei). Cu manșa emittorului în poziția de mijloc, echea servoului trebuie să fie pe poziție mediană. Actionând manșa emittorului pe rând în cele două poziții extreme, echea servoului trebuie să o urmeze. Pe rând, se repetă operațiile de verificare și pentru celelalte canale.

Emittorul descris în acest articol poate lucra cu orice receptor superheterodină (construit în regim de amator sau de fabricație industrială) în banda de 27 MHz și cu modulație de amplitudine (MA).

Prin intermediul redacției, autorul poate ajuta cu lămuriri suplimentare, aparatură de măsură, control și reglaj pe cei care doresc să-și construiască acest emittor de telecomandă.

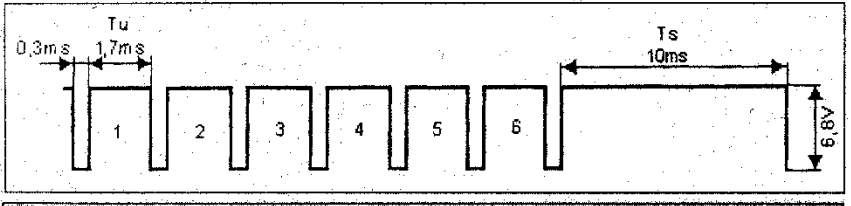


Fig. 6

Calculul TRANSFORMATOARELOR DE PRETĂREA (II)

Transformatoarele sunt apărate bazate pe fenomenul inducției electromagnetice, construite cu destinația de a prelua energie electrică sub o tensiune U_1 și cu intensitatea I_1 și a o reda sub tensiunea U_2 la curentul I_2 .

Energia preluată din circuitul primar se regăsește în circuitul secundar în proporție de 80-90%, diferență de 10-20% fiind „pierdută” sub formă de căldură sau câmp electromagnetic radiat în mediul înconjurător. Creșterea tensiunii în secundar față de primar se obține întotdeauna în detrimentul intensității, care se va reduce aproximativ în același raport. Pentru a exprima cantitativ această lege de bază a transformatoarelor, să notăm cu N_1 , U_1 , I_1 , respectiv N_2 , U_2 , I_2 , numărul de spire, tensiunea și curentul din primar, respectiv din secundar (fig. 1). Experiența arată că raportul dintre numerele de spire din primar și din secundar este egal cu raportul dintre tensiunile respectiv U_1 și U_2 :

$$\frac{N_1}{N_2} = \frac{U_1}{U_2} \quad (\text{raportul de transformare})$$

Dacă am neglijat pierderile de energie din transformator, raportul dintre curentul în primar și cel din secundar ar fi egal cu inversul raportului de transformare; în practică însă aceste pierderi nu pot fi neglijate, astfel că egalitatea este doar aproximativă:

$$\frac{U_1}{U_2} \approx \frac{I_2}{I_1}$$

Randamentul transformatorului depinde de numeroși factori, printre care se numără calitatea și geometria miezului utilizat, forma și dimensiunile înfășurărilor, diametrul conductorelor folosite etc.

In mare majoritate a situațiilor practice întâlnite de amatori, când se folosesc miezuri de formă E + I din tole de fier-siliciu, se poate lua în calcul un randament de 80% ($\eta = 0,80$). Aceasta înseamnă că, dacă dorim să obținem în circuitul secundar o anumită putere P_2 , va trebui să furnizăm primarului o putere mai mare, P_1 :

$$P_1 = \frac{P_2}{\eta} = 1,25 \cdot P_2$$

În această relație figurează puterea aparentă, care se definește

prin produsul $P = U \cdot I$ și se exprimă în unități VA (volt-amper), tensiunea fiind exprimată în volți și curentul în amperi.

CALCULUL PUTERILOR

Primul lucru pe care trebuie să-l stabilim precis atunci când construim un transformator este destinația sa. Aceasta presupune cunoașterea tensiunii maxime și a curentului maxim pe care urmează să le debitezem înfășurarea secundară. Pentru a răspunde mai multor situații practice, vom distinge trei cazuri frecvent întâlnite, și anume: a) secundarul cu o singură înfășurare; b) secundarul cu mai multe înfășurări separate și c) secundarul cu o singură înfășurare, cu prize mediane.

a) Dacă în secundar avem o singură înfășurare care trebuie să debitezem tensiunea maximă U_2 , și curentul maxim I_2 , puterea secundarului este:

$$P_2 = U_2 \cdot I_2$$

b) Dacă secundarul conține mai multe înfășurări separate care trebuie să funcționeze simultan (fig. 2), puterea totală în secundar se calculează azi în sumă din puterile partiale ale înfășurărilor.

De exemplu, dacă secundarul are o înfășurare de 12 V/2 A și una de 30 V/1 A, puterea totală este:

$$P_2 = 12 \cdot 2 + 30 \cdot 1 = 54 \text{ VA}$$

Există și situații speciale în care nu toate înfășurările secundarului

trebuie să funcționeze simultan. Acest lucru este important de știut, deoarece putem reduce simțitor gabaritul și costul transformatorului, luând în calcul puterea maximă care se folosește. Dacă reluăm exemplul precedent și presupunem că tensiunile de 12 V și de 30 V se folosesc pe rând (numai una o dată, după necesități), puterea secundarului o vom lua egală cu puterea cea mai mare din cele două, adică de 30 VA. În general, în astfel de situații se ia ca putere totală a secundarului suma puterilor din acele înfășurări care se utilizează simultan.

c) Dacă secundarul conține o înfășurare unică, dar cu una sau mai multe prize mediane, puterea se calculează luând tensiunea maximă (a întregii înfășurări) și curentul maxim ce urmează a fi debită:

$$P_2 = U_2 \cdot I_2$$

Tensiunea maximă va fi suma tensiunilor din secțiunile delimitate de extremități și de prizele mediane, pe când curentul maxim va fi același prin toate secțiunile (circuit serie).

După ce am calculat puterea totală maximă P_2 pe care trebuie să o furnizeze secundarul, urmează calcularea puterii maxime absorbite de primar:

$$P_1 = 1,25 \cdot P_2$$

Reamintim că am luat aici o valoare a randamentului de 80%; în practică, se poate depăși ușor această valoare, dar pentru uzul constructorilor amatori este bine să se lase un surplus de siguranță, înținând cont de exigentele pe care le-ar impune considerarea unui randament mai mare (tole de bună calitate, țeserea și strângerea perfectă a pachetului de tole etc.).

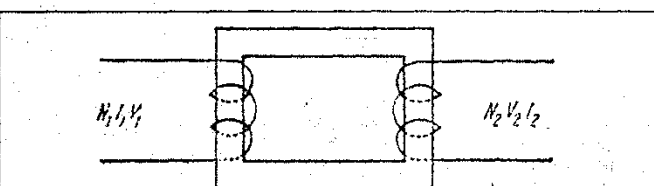


Fig. 1. Schema unui transformator cu cele două înfășurări: primară și secundară.

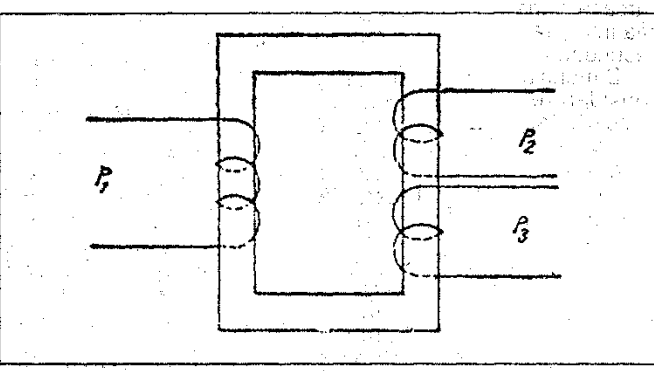


Fig. 2. Schema unui transformator cu două înfășurări la secundar.

SECTIUNEA MIEZULUI

După cum s-a menționat, pentru alcătuirea miezului transformatorului se folosesc cel mai frecvent tolele de tipul E + I (fig. 3). În literatura de specialitate, aceste tole se clasifică, la rândul lor, în funcție de anumite caracteristici dimensionale, existând nomenclatoare care ușurează mult alegerea tipului dorit și calculul transformatorului.

În privința pachetului de tole, constructorul trebuie să cunoască două caracteristici esențiale, și anume secțiunea miezului și dimensiunile "ferestrelor" (evident, se presupune cunoscută natura materialului din care sunt confectionate tolele; în cazul nostru tablă de fier-siliciu). Secțiunea miezului, S , se obține înmulțind grosimea c a pachetului de tole cu latimea b a benzii centrale din tola E (fig. 4). Exprimându-i pe c și pe b în centimetri, secțiunea S rezultă în centimetri patrati.

Cunoașterea secțiunii este obligatorie, deoarece puterea maximă pe care o transferă (din primar în secundar) un transformator este dependentă de secțiunea miezului. Pentru materialele feromagnetiche obișnuite (tablă de fier-siliciu) această dependență se poate exprima prin relația aproximativă:

$$S = \sqrt{P_1}$$

unde S se ia în cm^2 , iar P_1 (puterea maximă totală din primar) în wat sau în volt-amperi.

Atunci când miezul magnetic este realizat din tole de calitate inferioară (tablă din fier sau otel decalit), în relația precedentă se introduce un coeficient supratunitar de proporționalitate, cu valori cuprinse între 1,1 și 1,6:

$$S = (1,1 \dots 1,6) \sqrt{P_1}$$

CEalaltă caracteristică esențială a miezului - fereastră - reprezintă spațiul gol care rămâne, după îmbinarea pachetului de tole, între bratul central și unul din brațele laterale ale miezului. La tole de tip E + I există două ferestre egale, de o parte și de cealaltă a bratului central. Acest spațiu gol al miezului va fi ocupat de carcasa transformatorului, pe care se află înfășurările bobinelor din primar și secundar.

Dimensiunile ferestrelor se iau în considerare după ce s-a terminat calculul înfășurărilor (numărul de spire și diametrul conductoarelor), pentru a ne asigura că bobinele rezultate din calcul încap pe carcăsă. Asupra acestui aspect vom reveni la momentul potrivit.

După ce am stabilit secțiunea minimă S a miezului necesar (puterea P_1 în primar fiind calculată anterior), ne vom procura pachetul de tole corespunzător. Trebuie să avem grija ca secțiunea să nu fie în nici un caz mai mică decât valoarea rezultată din calcul; pe de altă parte, o secțiune mult mai mare va asigura funcționarea corectă a transformatorului, dar va

conduce la un gabarit sporit și la un consum mai mare de conductor.

Corectarea secțiunii se poate face foarte ușor, măringând sau micșorând adevarat grosimea pachetului de tole (deci numărul tolelor utilizate). În practică, se va căuta, pe cât posibil, ca forma secțiunii $b \times c$ să fie aproape pătrată ($b \approx c$), deoarece în acest caz lungimea unei spire va fi minimă pentru secțiunea dată. Se face astfel economie de conductor și, totodată, se reduc pierderile de energie prin căderea de tensiune pe rezistență chimică a înfășurărilor. Pe de altă parte, atunci când miezul procurat are și carcasa gata confectionată, constructorul amator îl poate folosi ca atare, chiar dacă secțiunea sa este cu 20-30% mai mare decât valoarea calculată.

CALCULUL ÎNFAȘURĂRILOR

La început s-a arătat că raportul tensiunilor din primar și din secundar, $U_1 : U_2$, este egal cu raportul numărului de spire din aceste înfășurări:

$$\frac{U_1}{U_2} = \frac{N_1}{N_2}$$

S-ar părea, la prima vedere, că pentru a realiza o transformare de tensiune de la U_1 la U_2 putem lăsa orice pereche de valori, pentru numărul de spire N_1 și N_2 , respectând raportul dorit. În realitate lucrurile nu stau aşa, deoarece unui anumit număr de spire nu îl putem "încrinda" orice valoare de tensiune. Mai precis, pentru un număr dat de spire există o limită maximă a tensiunii ce poate fi preluată și transformată în condiții bune de rădăment și de siguranță. Fără a intra în detaliu teoretice, vom menționa doar că această restricție este impusă de condițiile de magnetizare a miezului transformatorului (inductia magnetică din miez depinde de numărul de spire din înfășurarea primară, de curentul care străbate această înfășurare, de dimensiunile și de calitatea miezului magnetic).

Pe baza experienței practice acumulate privind proiectarea și exploatarea transformatoarelor, s-a ajuns la o relație empirică foarte simplă pentru determinarea numărului de spire pe volt:

$$n \approx \frac{55}{S}$$

În această relație, S reprezintă secțiunea miezului (in cm^2), n - numărul de spire pe volt, iar numărul 55 este o constantă empirică aproximativă care depinde de calitatea miezului. Constanta poate fi luată chiar 50 în cazul tolelor din tablă de fier-siliciu, având o valoare de 55-60 pentru materialele magnetice de calitate inferioară (tablă obișnuită de fier etc.).

Cunoscând numărul n de spire pe volt pentru miezul ales, putem acum calcula numărul de spire din înfășurările transformatorului:

$$N_1 = n \cdot U_1; \quad N_2 = n \cdot U_2$$

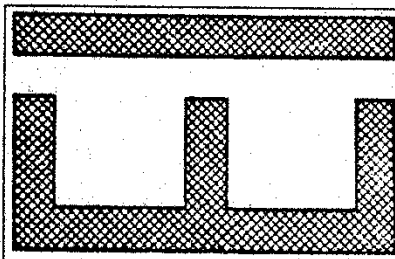


Fig. 3. Tole de tipul E + 1.

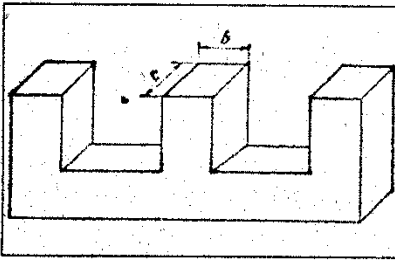


Fig. 4. Elementele pentru calculul secțiunii miezului.

Atunci când secundarul conține mai multe înfășurări separate, numărul de spire se calculează pentru fiecare tensiune în parte. De exemplu, pentru un miez cu secțiunea $S = 10 \text{ cm}^2$, avem $n = \frac{55}{10} = 5,5$ spire/volt. Pentru o înfășurare secundară care trebuie să debiteze $U_2 = 30 \text{ V}$, vom avea $N_2 = 30 \times 5,5 = 165$ de spire.

Experiența dovedește că în cazul unor înfășurări secundare care debitează curenti mari, numărul de spire pe volt este bine să fie majorat cu 5-10% față de primar, pentru a compensa căderile de tensiune pe rezistență nenulă a conductoarelor de bobinaj. Fără a face din această observație o regulă generală, constructorul amator poate aprecia singur, de la caz la caz, soluția optimă, pe baza experienței personale acumulate.

Următoarea etapă a calculului constă în stabilirea diametrului minim al conductoarelor de bobinaj. În acest scop, se vor determina în prealabil valorile maxime ale curentilor din primar și din secundar. Uneori aceste valori se cunosc dinainte, din destinația transformatorului, alteleori se cunosc initial puterile maxime necesare, curentii calculându-se pe baza relațiilor;

$$I_1 = \frac{P_1}{U_1}; \quad I_2 = \frac{P_2}{U_2}$$

De exemplu, dacă primarul urmează să fie alimentat de la rețea ($U_1 = 220 \text{ V}$) și dacă puterea maximă în primar, rezultată din calculele precedente, este $P_1 = 100 \text{ W}$, curentul maxim din înfășurarea primară va fi:

$$I_1 = \frac{100 \text{ W}}{220 \text{ V}} = 0,46 \text{ A}$$

(se poate approxima la 0,5 A).

(Continuare în numărul viitor)

SUDARE de CURRENT COMUNICAT

Ing. Mihai-George CODĂRNĂI

Montajul propriu etapei astăzi este o sursă reglabilă de curent constant, foarte stabilită și ieftină de realizat. Poate fi utilizat ca sursă de acumulare sau de difuzor. În plus, în circuitul său cătorva zeci de milampere pot fi aplicate la emisoriile de radio ca element de protecție împotriva sursei de curent. În generator de curent continuu de ușă, unde sunt următoarele aparatelor: magnetoacuiaj, etc.

Schemă electrică a montajului astăzi prezentată în figura 1.

 Schemă funcționează pe principiul menținerii, în toleranțe cât mai mici, a unei tensiuni reglabile precise, la bornele unui rezistor cunoscut ca valoare, în spate rezistoarele R10 și R11 montate în paralel, rezistor prin care circulă curentul principal. Acest curent se închide printr-o sarcină cuplată între bornele "+" și "-" (a se evita sarcinile puternic inductive). Practic, curentul este prescris indirect prin valoarea tensiunii aplicate cu ajutorul amplificatorului operațional CI1A și a elementului de putere - tranzistorul MOS - pe rezistoarele amintite anterior. Avantajul major al utilizării tranzistorului MOS este lipsa, în regim static, a curentului de comandă în grilă (neglijabil, de ordinul zecilor, cel mult al cărora sute de pA).

Tensiunea de referință este dată de dioda Zenner programabilă DZP1-TL431, care prezintă performanțe remarcabile ale stabilității cu temperatură, ale rezistenței dinamice și ale preciziei tensiunii la bornele sale; astfel, stabilitatea cu temperatură este de 50 ppm/°C, rezistența dinamică de 0,22 Ω, iar toleranța tensiunii de ieșire nu este mai mare de ± 0,4% (valori tipice, date de catalog).

Dacă valoarea rezistenței pe care se face "menținerea" tensiunii prescrise este aleasă

de circa 0,09 ... 0,1 Ω, iar curentul maxim admis este de 9 A ... 10 A, atunci tensiunea maximă la intrarea neinversoare a amplificatorului operațional nu va depăși 1 V. Deoarece tensiunea de referință de ieșire a diodei Zenner programabile TL431, în conexiunea prezentată, este de circa 2,5 V (2,495 V, tipic, dată de catalog), atunci este evidentă necesitatea culegerii, prin intermediu unui circuit divisor, a tensiunii de maximum 1 V, respectiv R2, PSR2, POT 1, R3.

CI1A - βM358 comandă elementul de putere MOS, T1-IRF540, prin rezistorul R8. Dioda Zenner DZ1 are rolul de protecție la supratensiuni între grilă și sursă a tranzistorului MOS. Rezistorul R9 îmbunătățește viteza de răspuns a tranzistorului la comenzi de blocare a acestuia. Reacția negativă globală este închisă de la sursa tranzistorului MOS, prin rezistoarele R6 și R7, la intrarea inversoare a amplificatorului operațional CI1A-βM358.

Elementele principale ale schemei sunt:

- sursa de tensiune fixă de referință DZP1-TL431;
- amplificatorul operațional CI1A-βM358;
- elementul comandat tranzistorul MOS de putere T1-IRF540;
- rezistoarele de putere R10 și R11 de către 0,18 Ω/4W;
- potențiometrul POT 1 - 1 kΩ - liniar multitură.

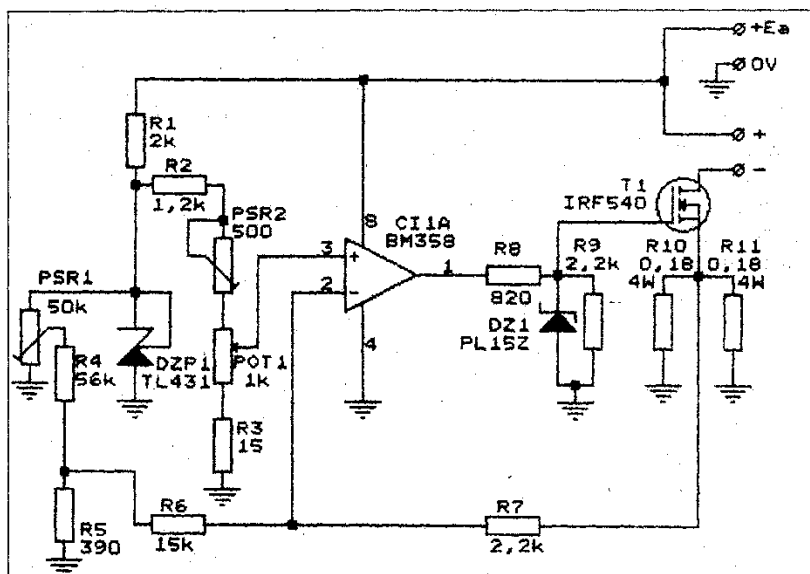


Fig. 1

Fig. 2

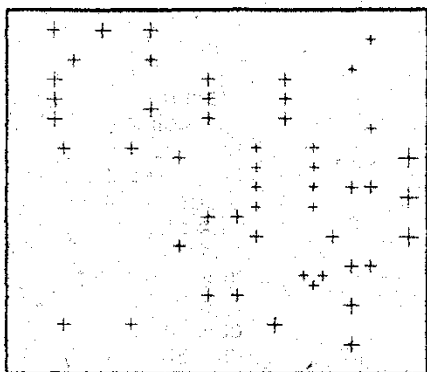


Fig. 3

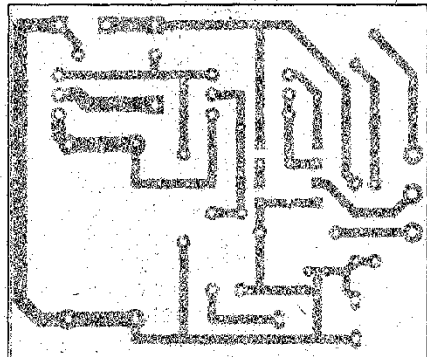
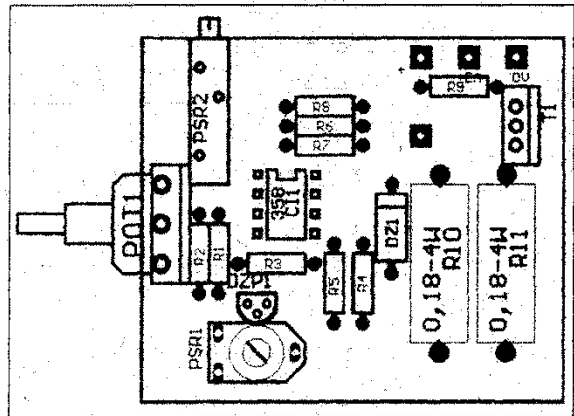


Fig. 4



Potențiometrul semireglabil PSR1 și grupul de rezistoare R4 și R5 au rolul de reducere a tensiunii de offset, corroborat cu rezistorul R3 (care face ca tensiunea minimă culeasă de cursorul potențiometrului POT1 să fie mai mare de 0V, circa 10 mV).

Din potențiometrul semireglabil PSR2 se reglează curentul maxim prin sarcină la 10 A.

Tensiunea de alimentare a întregului montaj este cuprinsă între 8 V și 30 V. Trebuie făcută remarcă asupra alimentării spre valoarea maximă și cerința de curent din sursă: în regim de

scurtcircuit la ieșire, produsul dintre tensiunea de alimentare (E_a) și curentul absorbit nu trebuie să depășească puterea maximă disipabilă a tranzistorului, care este de circa 120 W pe radiator infinit. Se impune, deci, utilizarea, pentru tranzistorul MOS, a unui radiator dissipativ de căldură adecvat, precum și limitarea puterii dissipate maxime sub 100 W. Astfel, la tensiunea $E_a = 30$ V, curentul prescris nu va depăși 3A, cu ieșirea în scurtcircuit $\Rightarrow 29,7$ V \times 3A = 89,1W (deși tranzistorul admite curenti de până la 20 A). A nu se confunda cu cazul în care, de exemplu, sarcina este rezistivă și are valoarea de 3Ω , se impune un curent de 8 A, iar tensiunea de alimentare, E_a , este de 30 V. În acest caz tranzistorul MOS disipează o putere $P = (30V - 0,8V - 3\Omega \times 8A) \times 8A = 41,6$ W.

Câteva lucruri importante trebuie menționate referitor la potențiometrul POT 1: este componenta care, alături de sursa de referință și rezistoarele R10 și R11, dă stabilitatea curentului prescris și, mai ales, precizia (rezoluția) cu care este fixat acesta. Ca atare, este necesar a se folosi un potențiometru bobinat multititura împreună cu mecanismul său de antrenare a cursorului și indicare a poziției în care acesta se găsește. De obicei, potențiometrul efectuează zece rotații de la un capăt la celălalt al cursel sale, iar mecanismul de indicare cuprinde, între două diviziuni, fie 1%, fie 2% dintr-o rotație completă (respectiv, 10 mA sau

20 mA). Abaterea de la valoarea prescrisă este, în general, mai mică spre capătul superior al intervalului de curent indicat de mecanism.

Reglajele montajului

1. Reglajul de capăt de scală - maximum 10 A.

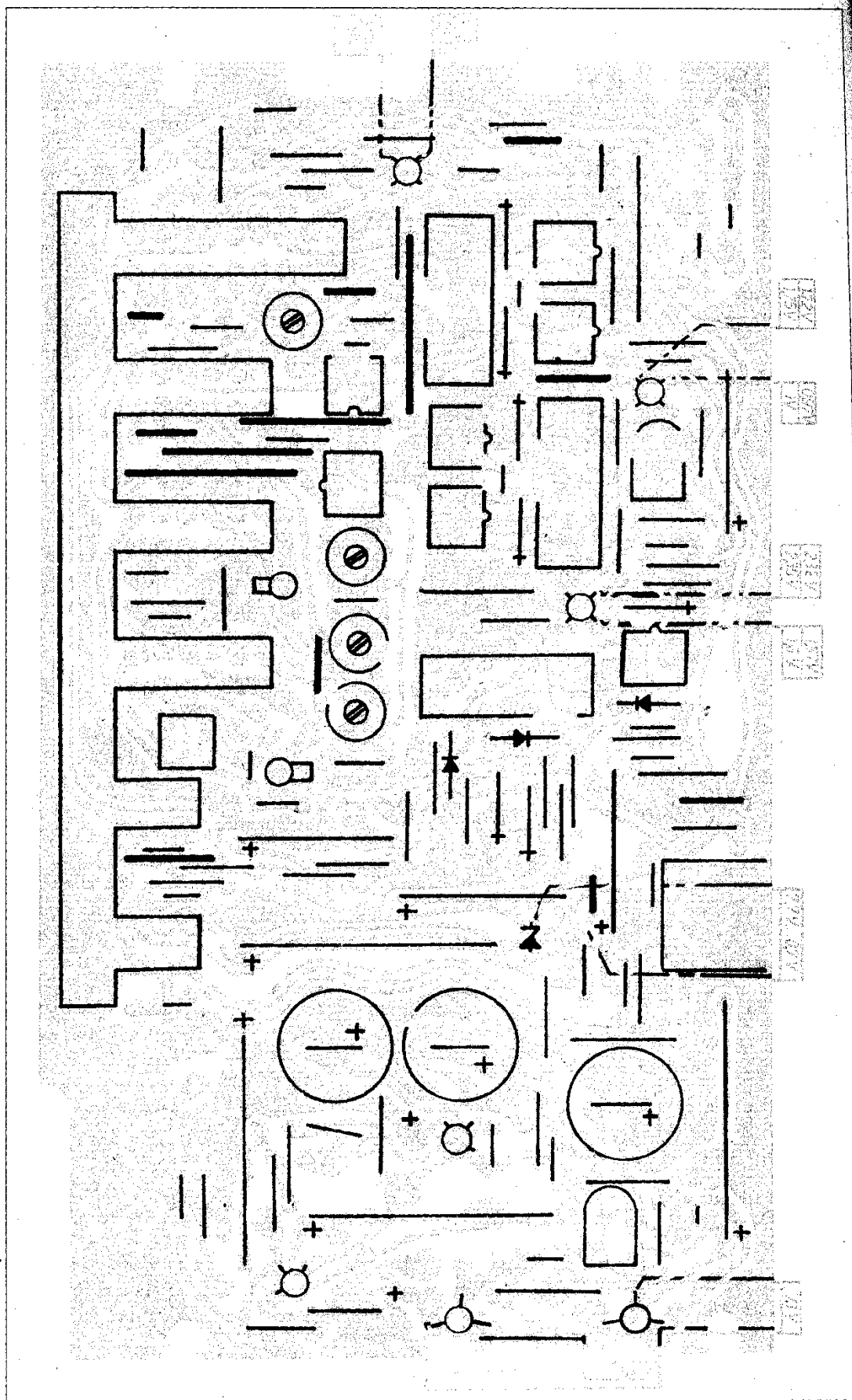
Se fixează la capăt de cursă potențiometrul multititura POT 1 și se scurtcircuitează ieșirile "+" și "-" cu un ampermetru digital, clasă de precizie mai bună de 0,5; se ajustează poziția potențiometrului semireglabil PSR1 pentru ca ampermetrul să indice valoarea de 10 A.

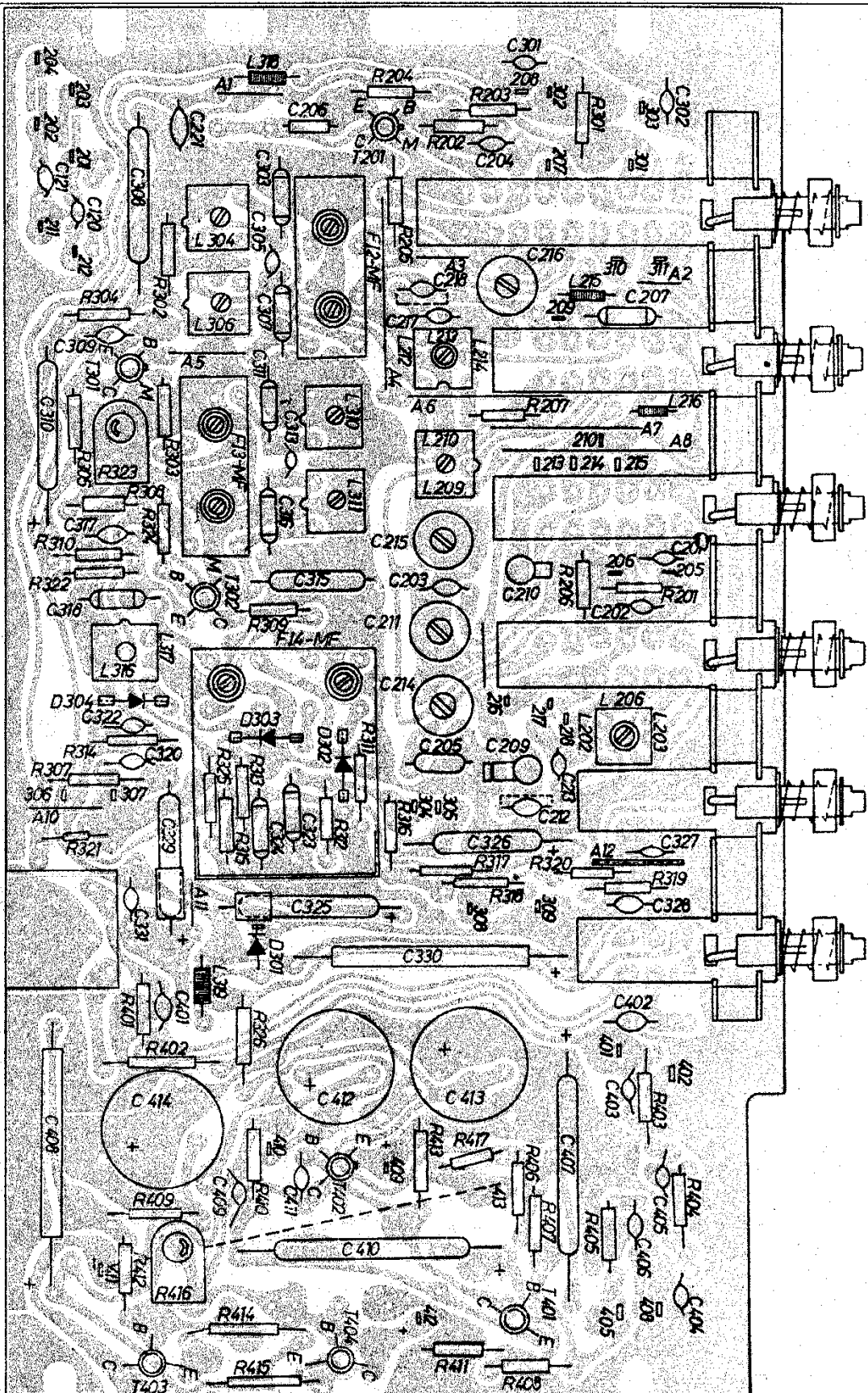
2. Reglajul de curent minim 10 mA (sau 20 mA).

Se fixează potențiometrul multititura POT 1 la o diviziune peste valoarea minimă 0,01 (sau 0,02) și se scurtcircuitează ieșirile "+" și "-" cu un ampermetru digital; se ajustează poziția potențiometrului semireglabil PSR2 pentru ca ampermetrul să indice valoarea de 10 mA (sau 20 mA).

O variantă de realizare a desenului cablajului imprimat este prezentată în figurile 2, 3 și 4, respectiv desenul de găurile văzut dinspre cablaj, desenul de cablaj și desenul de amplasare a componentelor. Toate desenele sunt realizate la scara 1:1. Traseele reprezentate îngroșat trebuie acoperite cu un strat mai consistent de aliaj de lipire, pentru a se evita riscul de exfoliere la trecerea unor curenti mari prin sarcină.

Pentru durate de utilizare scurte de până la un minut, montajul funcționează și la curenti mai mari de 9 A. Pe durate mai mari și la un curent de 10 A, rezistoarele R10 și R11 sunt suprasolicită în putere cu 2 W, existând posibilitatea de ardere a uneia dintre acestea și ieșire din funcționare a montajului.

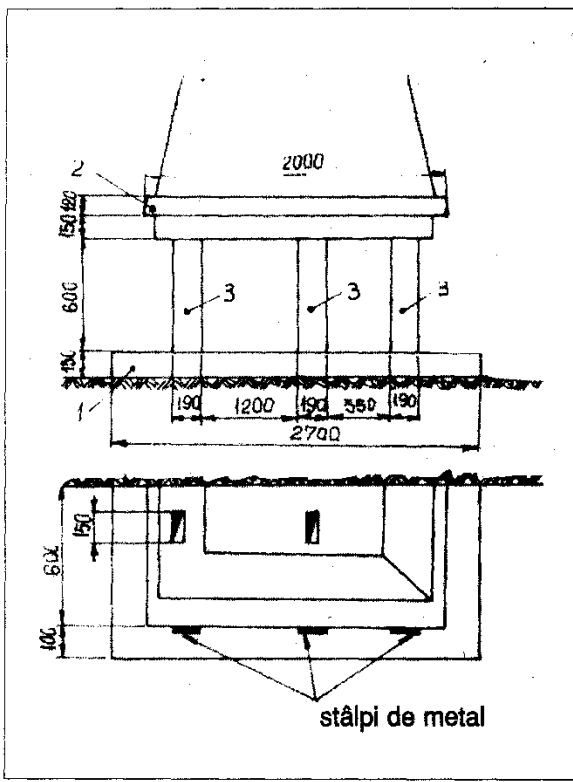
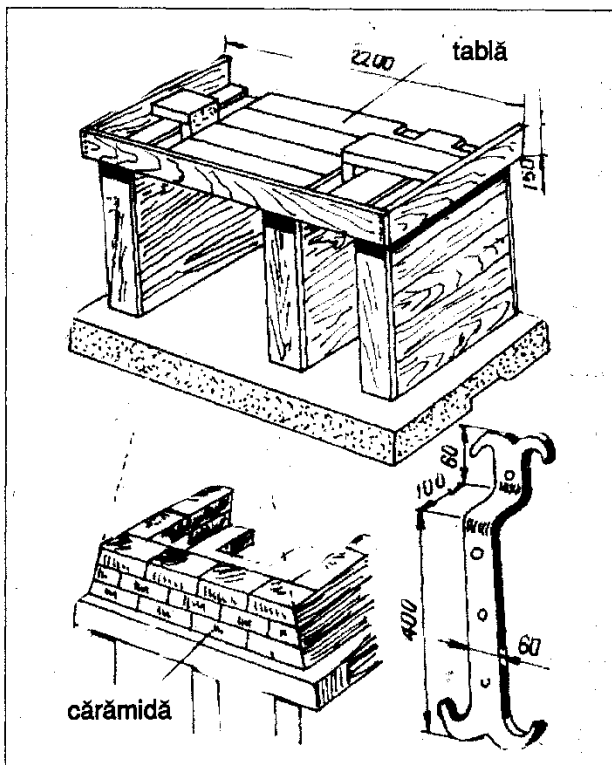
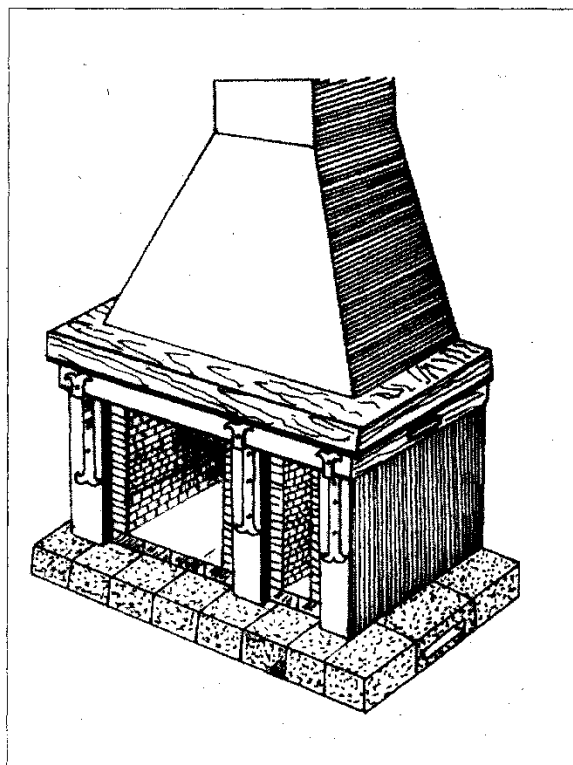




Având în vedere calitatea slabă a tiparului, ceea ce a făcut ca schemele publicate în nr. 11/1999 să nu poată fi citite, republ căm schemele solicitate cerând scuze cititorilor - deși vina nu aparține cu nimic redacției.

CONSTRUIEȘTE- CĂRĂMIDĂ

In cămăra de zi puteți construi o imitație estetică de șemineu, așa cum vedeti în desenele alăturate. Sursa de cărbură va fi însă nu focul de lemn, ci un radiator electric sau un arzător cu gaze, de tip radiator, întreptat cu față către încăpere.



dimensiunile din desene indică lățimea bazei, de 2 700 mm, și lățimea șemineului propriu-zis, de 2 320 mm, dar ele pot fi reduse (după dorința constructorului, în funcție de spațiul încăperii) fie prin renunțarea la corpul din dreapta (lat de 550 mm) și, deci, la ultimul stâlp (lat de 190 mm), fie prin reducerea proporțională a tuturor dimensiunilor. De asemenea, se poate renunța la coș.

Materialele necesare sunt: căramidă; nisip; ipsos; aracetin; benzi de tablă groasă de 1 mm (sau plăci prefabricate din beton expandat BCA lungi de 1 390 mm și altele, lungi de 740 mm; trei scoabe ornamentale din tablă de aramă sau alamă lucrate după forma și dimensiunile din desenul-detaliu; 12 șuruburi (pentru fixarea scoabelor); tablă de fier groasă de 0,2-0,3 mm (pentru coș); folie de material plastic de mărimea suprafeței bazei șemineului.

Construcția se face din lucrări de zidărie, după formele și dimensiunile din desene. Realizați mai întâi platforma de pe podea (1) din cărămizi așezate peste o folie din material plastic (pentru protecția dușumelei) și legate între ele cu un mortar obținut din ipsos 1 kg, nisip fin 1 kg, aracetin 200 g, apă 800 ml. Peste platformă, construiți cei trei pereti verticali de susținere (3), tot din căramida. Deasupra acestor pereti așezați benzile de tablă groasă de 1 mm sau plăci prefabricate din beton, pe cele lungi peste partea din stânga, iar pe celealte în dreapta, după cum vedeti în cel de-al treilea desen, apoi alte două

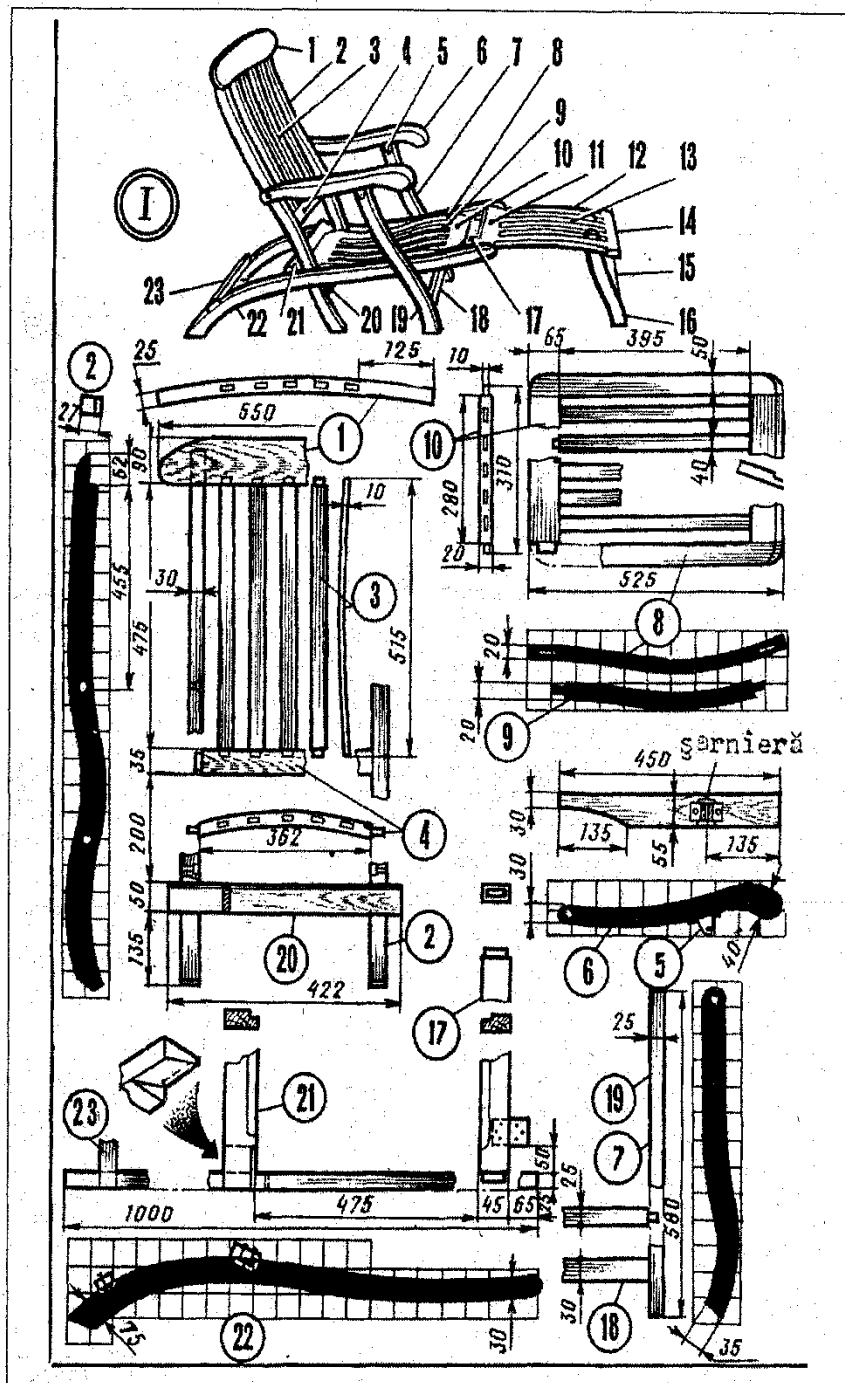
Şezlong clasic

In partea superioară a figurii, I, vedeti că acest șezlong rezistent este alcătuit din 23 de tipuri de piese din material lemnos, plus șuruburi pentru lemn și câteva șarniere (balamale). Poate fi folosită cherestea de râsinoase sau salcâm.

Desenele cu detalii prezintă amănunțit formele și cotele tuturor pieselor lemnioase, precum și modul de asamblare. Se va da atenție prelucrării corecte a capetelor pieselor care vor fi încăstrate în altele, astfel încât acestea să se întrepătrundă puțin forțat. Locurile de îmbinare (scobiturile) vor fi unse mai întâi cu aracetin. Este de remarcat faptul că multe dintre piese au forme curbate, care sunt mai dificil de realizat de către un amator începător, de aceea le recomandăm acestora să le prelucreze în linii drepte, de pildă, pe cele numerotate (1), (2), (4) etc. Mobila rezultată va fi mai puțin ergonomică, dar va deveni comodă, totuși, prin acoperirea spătarului și a părții de șezut cu perne lucrate din burete gros de 40 mm, învelit în pânză de saltea sau stofă decorativă pentru mobila. La terminarea lucrării, șezlongul nu va fi vopsit, ci doar acoperit cu nitrolac incolor.

rânduri de cărămidă, pentru a realiza platforma (2). Tot potrivit detaliilor indicate aici ridicăți, din cărămidă și mortar, partea inferioară a coșului (în formă de trunchi de piramidă), continuată (eventual) cu un corp lucrat din tablă subțire îndoită în formă de U. Fixați, cu șuruburi groase, cele trei scoabe decorative.

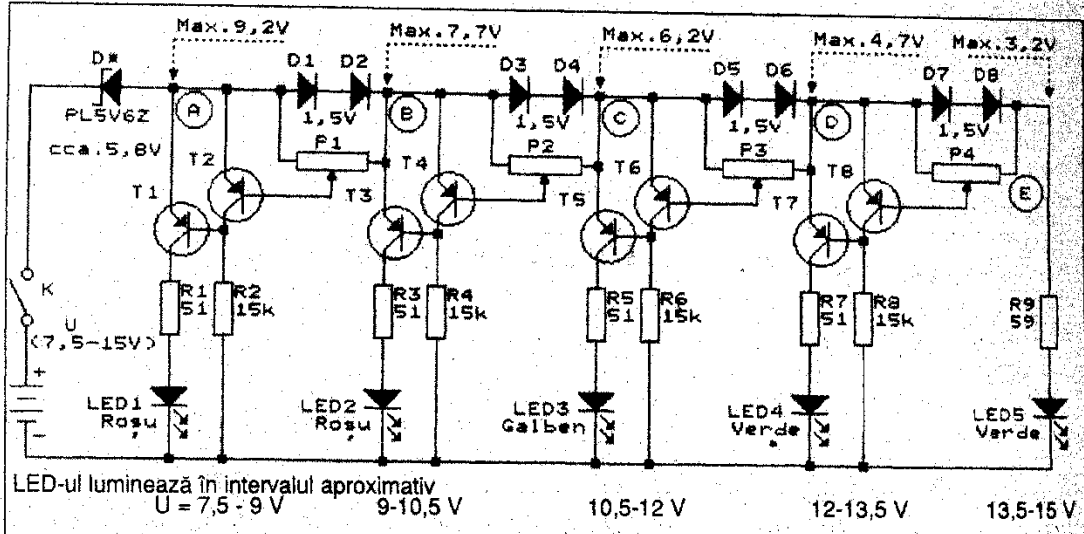
Toată construcția din cărămidă rămâne aparentă (la vedere), cu rosturile respective ale tencuielii din mortar ușor adâncite (scobite aproximativ 3 mm).



În desene, corpul central (șemineul propriu-zis) apare finisat cu material lemnos (scândură, pal sau placaj lustruit), formulă care poate fi întrebuintată numai atunci când în șemineu *nu se face cald deloc*, ci se introduc doar (în scop decorativ) lemn și tăciuni între care se ascunde un bec electric. Însă, dacă în spațiul din stânga se aşază un radiator electric, toată construcția va rămâne aparentă, doar coșul terminal din tablă se vopsește (deși se poate renunța la el).

Finisarea construcției se face prin curățarea cărămizilor cu o perie de sărmă sau din pai de mătură (pentru spălat scândură) și, eventual, prin vopsirea în alb a rosturilor dintre ele cu alb de zinc amestecat cu ipsos; aracetin și puțină apă. După dorință, cărămidă poate fi vopsită cu un amestec omogenizat obținut din: praf de cărămidă 850 g, litargă 150 g, ulei de in 1 kg. Vopseaua aceasta se întărește în trei-patru zile.

Fig. Alexandru MĂRCULESCU



ensiunea la bornele bateriei de acumulator auto - pe care este bine să o cunoaștem aproximativ în orice moment, pentru a nu avea surprize neplăcute la drum - poate fi „supraveghetă” continuu, simplu și eficient cu ajutorul indicatorului cu LED-uri descris în cele ce urmăzează. Având un consum redus de curent (circa 20 mA), indicatorul poate fi lăsat în funcție permanent, bineînțeles cu excepția cazurilor când mașina nu este folosită mai multe zile la rând.

Varianta propusă este de tipul „punct” luminos, adică - spre deosebire de cele gen „bară” luminoasă - în permanență va ilumina unul singur din cele cinci LED-uri prevăzute, în funcție de domeniul în care se află în momentul respectiv tensiunea bateriei. La variația tensiunii într-un sens sau altul, „punctul” luminos se deplasează corespunzător, mai precis „fuge” spre dreapta când tensiunea crește, respectiv spre stânga când tensiunea scade.

Pentru o baterie auto cu tensiunea nominală de 12 V (și cu tensiunea maximă de circa 14,4 V), putem alege ca plajă totală de interes pentru indicator intervalul aproximativ 7,5 V-15 V, pe care îl împărțim în cinci domenii distincte de indicare, fiecăruiu fiindu-i afectat un LED, astfel: 7,5 V-9 V (LED1); 9 V-10,5 V (LED2); 10,5 V-12 V (LED3); 12 V-13,5 V (LED4) și 13,5 V-15 V (LED 5). Această divizare se realizează cu ajutorul diodelor D*, D1-D8, conectate în serie cu ultima celulă de indicare, R9 + LED5, la bornele acumulatorului. Prima diodă (D*) este o diodă Zenner sau un grup serie de diode de referință în direct, având o cădere de tensiune internă de circa 5,8 V la un curent de 20 mA. D1-D8 sunt diode redresoare cu siliciu (1N4001-1N4007), sortate pentru o cădere de tensiune de circa 1,5 V per pereche, la același curent de 20 mA. În partea de deasupra schemei sunt indicate (cu săgeți punctate) tensiunile maxime, pentru $U = 15$ V, în punctele intermediare A, B, C, D și E ale divizorului, iar jos, sub fiecare celulă de indicare este notat domeniul aproximativ al tensiunii U pentru care

(în care) va ilumina LED-ul respectiv.

Culoarea celor cinci LED-uri nu au fost alese întâmplător: pentru starea de încărcare a bateriei foarte bună (LED5) și bună (LED4) s-a ales culoarea verde, situația intermediară de atenționare (LED3) a fost marcată prin galben, iar cazurile de avarie (LED2 și LED1) prin roșu. Desigur, interpretarea este orientativă și chiar discutabilă în ceea ce privește limitele de demarcare între starea „acceptabilă” și cea „neacceptabilă” a bateriei. Oricum, informația în sine este deosebit de utilă - începând chiar de la actionarea demarorului, când indicatorul ne poate avertiza asupra pericolului de a rămâne „în până” de curenț.

Pentru a urmări funcționarea montajului, să presupunem că pe diodele din divizor avem căderile de tensiune menionate anterior. Atunci când tensiunea U a bateriei este peste 13,5 V, cădere totală pe grupul D*, D1-D8 va fi de circa 5,8 V + 8 x 0,75 V = 11,8 V, diferența fiind aplicată celulei R9 + LED5. Astfel, LED5 va ilumina cu atât mai intens cu cât U este mai mare, stângându-se practic complet în vecinătatea pragului $U = 13,5$ V. Celelalte patru LED-uri sunt comandate fiecare de către un tranzistor (T1, T3, T5, respectiv T7) polarizat în conducție de saturare prin căte o rezistență de bază (R1, R3, R5, respectiv R7). Fiecare din aceste patru LED-uri se va aprinde, deci, automat în momentul în care tensiunea U atinge pragul inferior al domeniului respectiv, în creștere fiind. Problema se complică puțin la stingerea acestor LED-uri, motiv pentru care fiecare celulă de indicare a fost echipată cu căte un al doilea tranzistor (T2, T4, T6, T8), cu menirea de a-l bloca pe primul atunci când tensiunea U, în creștere, a atins pragul superior al domeniului respectiv. În acest scop, cele patru tranzistoare de blocare sunt prevăzute cu căte un divizor ajustabil de polarizare a bazei (trimerele P1, P2, P3, respectiv P4), alimentat din căderea de tensiune pe următorul dublet de diode (D1-D2, D3-D4, D5-D6, respectiv D7-D8).

Singura problemă rămâne, deci,

ajustarea polarizării lui T2, T4, T6 și T8 pentru stingerea automată a LED-ului aferent atunci când tensiunea U, în creștere, depășește pragul superior al domeniului respectiv. Precizăm, U în creștere” pentru că la scăderea tensiunii U, LED-urile se sting automat, de la dreapta spre stânga, din cauza căderilor de tensiune pe dubilejii de diode.

Pentru aceste reglaje avem nevoie de o sursă de tensiune continuă reglabilă fin în plaja 7,5 V-15 V, un voltmetru adecvat conectat la bornele ei și puțin... răbdare. Inițial poziționăm cele patru trimere că cursoarele în extremitatea stângă (scurtcircuit bază-emitor la cele patru tranzistoare de blocare). Apoi alimentăm montajul cu sursa reglabilă, pusă inițial pe 7,5 V. În această situație LED1 trebuie să ilumineze slab (să „înceapă” să ilumineze), celelalte patru fiind, evident, stinse complet. Dacă LED1 nu începe, totuși, să ilumineze, corectăm fin căderea de tensiune pe dioda D* (eventual sortăm alt exemplar/altă combinație serie). După acest prim pas creștem foarte puțin tensiunea U și ne asigurăm că LED1 iluminează normal. Creștem în continuare tensiunea U până la pragul de circa 9 V, urmărind atent momentul în care LED2 începe și el să ilumineze. În acel moment ajustăm fin trimerul P1 astfel ca simultan cu aprinderea lui LED2 să se producă - într-o plajă foarte îngustă de tensiune - stingerea lui LED1. Operația se continuă în mod similar până la ajustarea ultimului trimiter, P4, după care se fac probe de aprindere/stingere variind tensiunea U în întreaga plajă, în ambele sensuri. Este posibil să fie necesare mici rețușuri sau chiar să se impună reluarea de capo a tuturor reglajerelor.

Montajul definitiv se introduce într-o cutiută izolață, prevăzută cu găuri de aerisire, care se instalează la bordul mașinii, în loc ușor vizibil. Capsulele LED-urilor se „înfig” - căt mai apropiate una de alta - în peretele frontal al cutiutei, care va fi de preferință din material plastic negru. Se recomandă să se utilizeze LED-uri de 20 mA, cu capsula circulară.

Ce trebuie să știi despre INSPECȚIILE TEHNICE PERIODICE

Mihai STRATULAT

În conformitate cu Ordinul Ministerului Transporturilor nr. 363 din 1992, pentru a putea fi menținute în circulație, autovehiculele și remorile acestora trebuie să fie inspectate tehnice cu o periodicitate de cel mult șase luni pentru autoturismele folosite ca taximetre, microbuze, autobuze și autovehiculele scăză (clasa I); automobilele utilitare, mixte, specializate și speciale, autoremorile acestora, cu masa totală maximă autorizată mai mare de 0,5 tone, precum și tractoarele rutiere și remorile acestora (clasa II-a) trebuie să fie supuse inspecțiilor periodice cel puțin o dată pe an; la cel mult doi ani trebuie să fie inspectate tehnice autoturismele, autotrolele, motocicletele, mopedele și remorile acestora, precum și automobilele menționate în articolul precedent, dar care au masa maximă autorizată mai mică de 3,5 tone (clasa III-a).

Menul pentru efectuarea primei inspecții tehnice se socotește de la data primei înmatriculări, următoarea inspecție urmând să fie efectuată înainte de seama de data celei precedente. Autovehiculele din clasa I se supun primei inspecții tehnice periodice după un an dacă la data înmatriculării au fost noi.

Operațiunile de inspecție tehnică periodică se execută în stații autorizate, iar beneficiarii trebuie să fie atenți la efectuarea lor, deoarece au fost cazuri în care diferite ateliere au efectuat verificări și au eliberat adverințe fără a fi atestate. Ateleierele autorizate de Registrul Auto Român au o dotare strict determinată, personal a cărui competență a fost minuțios verificată și folosesc o tehnologie tipică pentru aceste operațiuni, care se fac fără demontarea subansamblurilor vehiculului. Rolul acestor inspecții este de a constata dacă autovehiculul corespunde din punctul de vedere al siguranței circulației și ai protecției mediului, nefind un pericol stradal.

Cei care se prezintă la inspecțiile tehnice periodice mai trebuie să știe că este necesar ca vehiculul să fie curat, cu dotările complete, inclusiv triunghiul de avarie, trusa medicală și centurile de siguranță omologate.

Vom începe prin a expune planul de operațiuni care se execută în mod obligatoriu la clasa I, care cuprinde motocicletele, mopedele și remorile acestora, atrăgând atenția celor ce urmează să se prezinte la atelierele

autorizate să efectueze inspecții tehnice periodice asupra defectiunilor care pot face ca autovehiculele să fie respinse. Cu (a) au fost notate defectiunile care trebuie să fie remediate imediat, iar cu (b) cele care pot fi înălțurate după 30 de zile.

Motor: Pierderi de benzină (a). Pierderi de ulei; fixare defectuoasă a elementelor care compun traseul de evacuare a gazelor, deformări importante ale acestor elemente, neetanșitatea circuitului de evacuare (b). Lipsa unor componente din sistemul de evacuare a gazelor (a). Suporturile motorului fisurate (a) sau strânse incorect pe cadru (b); anexe ale motorului prost fixate (b).

Cadru: Fisuri ale elementelor cadrului (a). Fixarea defectuoasă a dispozitivului de cuplare pentru remorcă sau folosirea unui dispozitiv neomologat, fisurat sau cu deformări importante (a). Deformări ale cadrului și străngeri defectuoase (b). Lipsa cîrcului (a) sau funcționarea ori fixarea lui defectuoasă (b).

Furca din față: Fisuri ale coloanelor furcii (a) ori joc anormal al furcii în cadru (b).

Bascula din spate: Fixarea defectuoasă a basculi sau fisuri ale cadrului ei (a). Jocuri anormale în articulații sau bucșe uzate (b).

Transmisia: Schimbarea dificilă a treptelor de viteză sau blocarea într-o treaptă (b).

Rouă: Jante fisurate, tăieturi profunde pe banda de rulare sau pe flancuri, anvelope de dimensiuni necorespunzătoare, prinderea incorectă a

rotiilor, joc abnormal al rulmenților de roată, blocarea rotiilor la încercarea de rotere liberă, uzura neuniformă a anvelopelor, precum și adâncimi mai mici de 1 mm ale profilului (a). Jante deformate sau sudate, spite deteriorate sau lipsă și presiune necorespunzătoare în pneuri (b).

Suspensia: Amortizoare lipsă (a), ineficiente, cu pierderi de lichid sau fixate defectuos; bucșe uzate, suporturi slabite și articulații cu joc excesiv (b).

Frânele: Cabluri, conducte sau furtunuri deteriorate, cu urme de frecare prin contactul cu alte organe sau improvizate; lipsă sau pierderi ale lichidului de frână; frâne cu eficacitate redusă (a).

Instalația electrică: Lipsa ori iesirea din funcție a claxonului, a luminilor de drum, a celor de întâlnire, de poziție, de frânare, de semnalizare, de iluminare a numărului de înmatriculare, de semnalare a gabaritului ori lipsa catadioptrului (a). Fixarea incorectă a elementelor instalației electrice, a organelor de iluminare și semnalizare; cablaj cu deteriorări sau reparări improprii; lipsă sau funcționarea defectuoasă a luminilor de drum, de întâlnire, de poziție, de frânare, de semnalizare, de iluminare a numărului de înmatriculare, de gabarit, geamuri dispersoare lipsă, sparte, de culoare neregulamentară, neomologate sau improvizate, abateri de la prescripțiile privitoare la luminile de drum și de întâlnire (poziționare, puterea becurilor, culoare), scurgeri de lichid din bateria de acumulator (b).

Atașul: Fisuri ori fixarea defectuoasă a cadrului (a). Fixarea defectuoasă a banchetei, deformări (b).

Diverse: Lipsa oglinzelor retrovizoare, placa numărului de înmatriculare deteriorată sau montată în poziție incorectă (a). Coroziuni avansate și deformări importante ale elementelor de cadruri, aripilor, atașului (b).

În încheiere, trebuie atrasă atenția celor interesați că nu se acordă viză de inspecție dacă se constată neconcordante între înscrисurile de pe vehicul și datele din certificatul de înmatriculare, dacă există dovezi de modificare a seriilor, când plăcuțele de identificare sunt prinse cu șuruburi, situații care trebuie să fie remediate după cel mult 30 de zile, operațiunile făcându-se prin Registrul Auto Român și Serviciul de Circulație din cadrul poliției locale.

În numerele viitoare vom pune la dispoziția cititorilor cadrul general în care se fac inspecțiile periodice pentru vehiculele din celelalte două clase, a II-a și a III-a.

CARTELE ELECTRONICE PROGRAMABILE

(„smart cards”)

Ing. Nicolae SFETCU

(Urmare din numărul 11/1999)

4.2. Autentificarea în sistem Kerberos

Într-un mediu deschis distribuit computerizat (MDC), o stație de lucru nu poate fi de încredere în cazul identificării utilizatorilor săi; deoarece stația de lucru nu poate fi localizată într-un mediu bine controlat și poate fi departe de serverul central. Un utilizator poate fi un intrus care poate încerca să atace sistemul sau poate pretinde că este altcineva, pentru a extrage din sistem informații la care nu este îndreptățit. Pentru a proteja sistemul de atacuri prin rețea la distanță, trebuie să se ia în considerare un mod specific de autentificare.

Kerberos este unul dintre sistemele care asigură servicii de autentificare de nivelul trei de încredere pentru utilizatori pe un mediu distribuit pe rețea. În principiu, când un utilizator sau un client solicită un acces la un serviciu particular de la un server, el/ea trebuie să obțină un ticket sau un cont de la serverul de autentificare — Kerberos — (SA). Utilizatorul prezintă atunci contul serverului de eliberare a ticketelor. Rezultă că utilizatorul poate solicita serviciul folosind ticketul serverului. Figura 3 descrie acest protocol de autentificare.

Având acest protocol, serverul poate fi securizat, oferind servicii clientului corect, care este îndreptățit să aibă acces. Aceasta pentru că Kerberos a considerat că numai utilizatorul corect poate folosi contul, ceilalți neavând parola pentru a-l descifra. Rezultă că un utilizator poate folosi contul altuia. Deci, utilizatorul nu poate fi autentificat în etapa inițială.

Astfel, o persoană poate obține contul altui utilizator și poate realiza un atac off-line dacă descoperă parola, ticketul fiind securizat numai de parolă. Această vulnerabilitate a securității Kerberos este scosă în evidență de Mark și Gary (1995) într-o din lucrările lor, „Integrating Smart Card Into Authentication Systems”.

În studiul lor, ei și-au propus să integreze CEP în sistemul Kerberos pentru a rezolva această problemă. Se propun șase scheme diferite. Întreaga idee este de a mări autentificarea securității Kerberos autentificând utilizatorul direct la

început și înainte de eliberarea ticketului, astfel încât un utilizator nu poate avea ticketul altuia.

În concluzie, modelul menționat aici demonstrează cum tehnologia CEP poate asigura procedural un sistem.

4.3. Controlul de acces la sistemul de operare

Controlul de acces este una dintre utilizările importante ale tehnologiei CEP. În această secțiune vom vedea cum să controlăm accesul unui sistem de operare într-un computer personal folosind CEP. Ideea originală aparține lui Paul și Lance, fiind prezentată în lucrarea lor „BITS: A Smartcard Protected Operating System”, 1994.

Caracteristica de unic utilizator a computerelor personale implică lipsa protecției de securitate, în special în zone ale sistemului precum sectorul de bootare al unui hard disk sau floppy. Acestea pot fi modificate de oricine fără protecție, rezultând posibilitatea infectiei cu un virus de computer. În prezent, un computer personal este suficient de puternic pentru a lua locul minicomputerelor și a se comporta ca un server de rețea, dar natura sa de unic utilizator nu s-a schimbat, și aceasta a făcut ca problema să se agraveze.

Paul și Lance au introdus un sistem de verificare a integrității la bootare (SVIB), care folosește tehnologia CEP pentru a proteja sistemul de operare. Ideea de bază este aceea conform căreia computerul-gazdă este de fapt bootat de pe un CEP sau necesită informații critice de la cartela pentru a completa secvența de bootare. Deci, chiar dacă un atacator poate accesa nivelul fizic la un hardware, este imposibil de menținut integritatea sistemului.

CEP solicită autentificarea utilizatorului înainte de accesarea datelor. În timpul punerii în funcțiune a sistemului, două autentificări trebuie acceptate înainte de completarea secvenței de bootare. La început, utilizatorul este autentificat cu ajutorul unei parole. Apoi este autentificată cartela prin verificarea corespondentei dintre utilizator și datele de pe cartela. După ce ambele au coresponsat, calculatorul citește informațiile sectorului de bootare de la CEP și completează secvența de bootare. Atunci PC-ul operează normal.

CEP poate, de asemenea, să stocheze toate datele critice și programele executabile. Aceasta se folosește împotriva virusării prin validarea integrității fișierelor, mai eficient decât prin scanarea după semnăturile virușilor cunoscuți. În general, folosirea CEP în acest caz sporește securitatea computerului, utilizând posibilitățile de procesare și stocare ale CEP.

5. ATACURILE ASUPRA CEP

După cum s-a văzut, CEP pare a fi un instrument superior pentru creșterea securității de sistem și asigurarea unei zone de stocare de securitate. Una dintre caracteristicile securității asigurate de majoritatea sistemelor de operare ale CEP, care nu este menționată în această lucrare, o reprezintă facilitățile criptografice. Ele asigură încriptarea și decriptarea datelor pentru cartela; unele pot chiar fi folosite pentru a produce chei criptografice.

Secretul algoritmului criptografic, cheile stocate și controlul de acces din interiorul CEP au devenit ţintele atacatorilor. Astăzi multe companii și criptografi pretind a fi capabili să spargă CEP și microcontrolerul său. Unii dintre ei realizează atacuri logice nedistructive, alții atacă fizic cartela, în timp ce a treia categorie doar își demonstrează succesul prin dezvoltări teoretice.

Vom revedea pe scurt primele două categorii și vom examina cum sunt obținute atacurile. A treia modalitate, întrucât atacurile sunt teoretice și legate de o mulțime de calcule și formule matematice complicate care sunt în afara scopului acestei lucrări, nu este discutată aici.

5.1. Atacurile logice

Întrucât toate componentele cheilor CEP sunt stocate în memoria programabilă numai pentru citit, cu stergere electrică (EEPROM), și datorită faptului că EEPROM poate fi afectat de voltagă și temperaturi neobișnuite, informațiile pot fi captate ridicând sau scăzând tensiunea de alimentare a microcontrolerului. În raportul „Tamper Resistance - A Cautionary Note” de Rose și Markus (1996) sunt revăzute diferite exemple de atacuri asupra microcontrolerului CEP prin variația tensiunii.

De exemplu, un atac puțin cunoscut al microcontrolerului PIC16C84 este acela că bitul de securitate al controlerului poate fi sters cu stergerea memoriei, ridicându-se tensiunea V_{CC} la $V_{PP} = 0,5$ V. Un atac asupra procesorului de securitate DS5000 este un alt exemplu. O scurtă cădere de tensiune poate determina căteleodată cădere protectiei fără să steargă datele. Tensiunea scăzută poate facilita și alte atacuri, tot așa cum un generator

de semnale stocastice analogice folosit pentru a crea chei criptografice va produce o „eliberare” a aproape tuturor „1”-urilor când tensiunea de alimentare este scăzută ușor.

Din aceste motive, unele procesoare de securitate au implementat senzori care declanșează o alarmă când există schimbări în mediu. Cu toate acestea, respectivii senzori declanșează întotdeauna alarmă falsă, datorită existenței fluctuației în momentul în care cartela este încărcată și circuitul se stabilește. Așadar, această metodă nu este folosită frecvent.

5.2. Atacurile fizice

Atacurile fizice sunt foarte obișnuite. Înainte ca acest fel de atac să poată fi realizat, cipul circuitului trebuie să poată fi îndepărtat din cartela de plastic. Aceasta se poate face prin folosirea unui cutit ascuns pentru a tăia plasticul din spatele modulului de cip până când rășina epoxidică devine vizibilă. Apoi rășina poate fi dizolvată ca câteva picături de acid azotic fumans ($> 98\% \text{ HNO}_3$). Acidul și rășina pot fi spălate prin agitarea cartelii în acetonă până când suprafața de siliciu este expusă complet. Apoi cipul poate fi examinat și atacat direct.

La Laboratorul „Cavendish” din Cambridge este dezvoltată o tehnică specifică ingineriei inverse („reverse engineering”) pentru cipurile circuitelor. Configurația și funcționarea cipului pot fi identificate folosindu-se această tehnică. De asemenea, pentru a observa cipul se poate folosi o altă tehnică dezvoltată de IBM. Astfel se pot afla secretele pe care le ascunde.

Există diferite modalități de a realiza atacuri fizice. De exemplu, stergerea bitului cheii de securitate prin concentrarea radiatiei UV pe EEPROM, verificând operațiunea circuitului folosind microonde indicate sau microscopie cu freză laser pentru a explora chipul etc. Cu toate acestea, toate aceste tipuri de atacuri sunt disponibile numai în laboratoare bine dotate, costurile asociate fiind considerabil de mari.

6. CONCLUZII

În această lucrare au fost discutate structura fizică și logică a CEP și controlul de acces de securitate corespondent. Se crede că CEP oferă mai multă securitate decât celelalte tipuri de depozite de informații și tranzacții. Ba chiar mai mult, aplicațiile cu tehnologiile CEP sunt ilustrative, ceea ce demonstrează că CEP este una dintre cele mai bune soluții pentru a asigura și a spori sistemul de securitate și integritate.

La sfârșitul acestui articol sunt recunoscute în revistă, de asemenea, și tehniciile de atac asupra CEP. Posibilitatea acestor atacuri nu

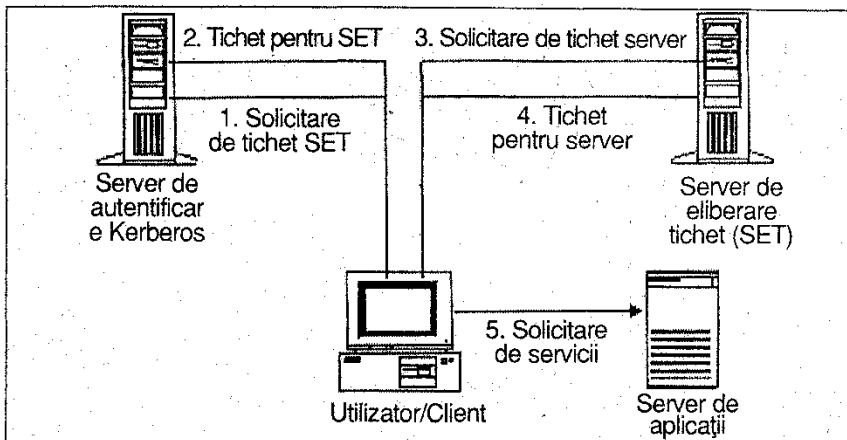


Fig. 3 Protocolul de autentificare Kerberos
(sursa: Jennifer & Clifford & Jeffrey, 1988)

înseamnă că CEP nu este sigur. Este important de înțeles că atacul împotriva sistemului de securitate nu este nimic nou sau unic. Orice sisteme sau tehnologii pretențând securitate 100% sunt irresponsabile. Principala verificare a securității sistemelor se bazează pe îndeplinirea de către sistem a cerințelor nivelului de securitate.

Mai mult, majoritatea atacurilor disponibile astăzi sunt clasificate în trei clase de atacuri, ceea ce înseamnă că costurile asociate cu spargerea sistemului sunt de departe mai mari decât costul sistemului însuși sau că atacatorul trebuie să piardă mult prea mult timp pentru a putea sparge o singură tranzacție. Cum tehnologia avansează repede, executanții își actualizează și își sporesc produsele constant. Așadar, îndată ce hackerii găsesc metode de a sparge sistemul, problemele pot fi rezolvate doar printr-o nouă generație de tehnologie.

În final, se poate conchide că CEP este un dispozitiv sigur. Este un loc sigur pentru a stoca informații valoroase, cum ar fi coduri personale, numere de conturi și date personale valoroase, precum informațiile biometrice. CEP este, de asemenea, și un loc sigur pentru procese off-line, respectiv încriptarea și decriptarea codurilor personale. CEP poate fi o soluție pentru problemele de securitate din lumea modernă.

7. BIBLIOGRAFIE

- Anderson R. & Kuhn M. (1996), *Tamper Resistance - A Cautionary Note*, Computer Laboratory, Cambridge University, and Department of Computer Sciences, Purdue University
- Card Europe UK (1996), *Smart Card Technology Background Paper*, Internet WWW page at URL: <<http://www.gold.net/users/ct96/rep1.htm>> (21 Mar. 1997)
- CASCADe (1994), *Chip Architecture for Smart Cards and Secure Portable Devices*, Internet WWW page at URL: <<http://www.dice.ucl.ac.uk/~dhem/cascade/cascade.html>> (24 Mar. 1997)
- Clark P. & Hoffman L. (1994), *BITS: A Smartcard Protected Operating System*, Communications of the ACM, 37, 11, pp 66-70
- Krueger J. & Schloss R. (1997), *Facing the Smart Card Security Issue*, Internet WWW page at URL: <<http://www.smartrcd.com/info/more/security.htm>> (24 Mar. 1997)
- Looi M. & Gaskell G. (1995), *Integrating Smart Cards Into Authentication Systems*, School of Data Communications, Queensland University of Technology, and Cooperative Research Centre for Distributed Systems Technology
- Looi M. & Cohen F. & Elgey G. (1992), *A Smart Card Programming Environment for Authentication Applications*, Information Security Research Center, Queensland University of Technology, and ASP, Pittsburgh, USA
- Matsumoto T. & Zheng Y. (1996), *Breaking Smart Card Implementation of ElGamal Signature and Its Variants*, Yokohama National University, and Monash University
- Peyret P. (1995), *Which Smart Card technology will you need to ride the Information Highway safely?* Head of Research & Development, Gemplus Corporation
- Philips DX Smart Card Reference Manual (1995), Philips Electronics N.V., France
- Schiller, J. & Steiner J. & Neuman C. (1988), *Kerberos: An Authentication Service for Open Network Systems*, Dallas, Texas, Usenix Winter Conference
- Schumberger Limited (1996), *Advantages, Smart Cards: Inherent Advantages*, Internet WWW page at URL: <http://www.slb.com/et/inherent_advantage.html> (24 Mar. 1997)

(Adaptare și traducere după un articol publicat pe Internet la adresa: <http://home.hkstar.com/~alanchan/papers/smartCardSecurity/>)

Mulțumim tuturor celor care ne-au felicitat cu prilejul aniversării a 30 de ani de apariție a revistei TEHNİUM.

La rândul nostru urăm acum, la început de an, colaboratorilor și cititorilor multă sănătate, împliniri și succese în activitățile pe care le desfășoară!

La mulți ani!

Pentru a veni în sprijinul celor care solicită diverse scheme, adrese ori piese, publicăm începând cu acest număr o rubrică specială, care sperăm - se va bucura de o mare audiență în rândul cititorilor.

Redacția nu își asumă nici o răspundere privind aspectele materiale ale ofertelor. Recomandăm cititorilor să stabilească reciproc condițiile în care se fac ofertele la solicitări.

• IUGA COSTEL Comuna Ciocânești, str. Moisești, jud.

Dâmbovița, cod 8121, solicită schemele TV color PHILIPS și CROMATIC.

• CSEREI MARTON Comuna Suatu, str. Arancutii nr. 588, jud. Cluj, cod 3416, solicită schema de utilizare a circuitului integrat STK 1060 și caracteristicile acestuia.

• TRIFAN LUCIAN 2158 Poiana Câmpina, str. Centru, bloc 31, ap. 6, jud. Prahova, solicită schemele radioreceptoarelor BUCUR 1, 2, 6, 7 și GLORIA cât și a TV color GRAETZ.

• STAIU ALEXANDRU MARI-NEL - 0500 Slatina, bloc GA5C, sc. A, Aleea Viorelor, jud. Olt.

Nu publicăm scheme și construcții preluate din alte reviste sau din cărți. Așteptăm propuneri de lucrări originale, care vă aparțin.

• DRĂGAN FLORIN - 8735 Năvodari, str. Albinelor nr. 6, bloc 15, sc. C, ap. 26, jud. Constanța.

Vă numărăți printre numerosii cititori care ne solicită să publicăm un ABC al electronicii și pagini cu construcții și montaje pentru electroniștii începători. Deocamdată spațiul nu ne permite acest lucru, dar vom găsi soluții pentru a răspunde acestor solicitări.

• TRIFAN LUCIAN - elev clasa a XII-a, Grupul școlar industrial energetic din Câmpina, jud. Prahova. „Am urmărit cu deosebit interes schemele și îndrumările dumneavoastră pe parcursul revistelor apărute și sunt deplin mulțumit de calitatea lor (detalii constructive, prezentare). În măsura posibilităților ar fi foarte bine dacă revista TEHNİUM'70 INTERNATIONAL ar apărea bilunar și ar avea în cuprinsul ei și un mic catalog C.I. ca de exemplu TDA 2005, TA 7769P, TBA 810 etc.”

Mulțumim pentru aprecieri și propuneri. Vom ține seama de ele în alcătuirea sumarelor viitoare.

• CERBU MOISE - 1611 - Toplet nr. 100, jud. Caraș-Severin, solicită contra cost numerele 1/1970, 7/1986, 4 și 6/1992, 2 și 10/1993, 8-9/1994, 7, 8-9, 10-11 și 12/1995, 1/1997.

Revista este deschisă oricărui cititor, singurul criteriu pentru publicare fiind calitatea articolului.

Colaboratorii sunt rugați să ne trimită materialele numai dactilografiate, însotite de indicații bibliografice complete (autor, titlu, editură, an etc.) și ilustrații corespunzătoare (desen în tuș negru și, dacă se poate, fotografii de ansamblu sau detalii).

Pentru ca autorii să-și primească drepturile bănești integrale, colaborările vor fi însotite de adresă și telefon.

Manuscrisele nepublicate nu se restituie.

Răspunderea pentru afirmațiile, soluțiile și recomandările publicate revin integral autorilor respectivi.

TEHNİUM

International 70

Revistă pentru constructori amatori

Fondată în anul 1970

Serie nouă, Nr. 327
IANUARIE 2000

Editor
Presa Națională SA
Piața Presei Libere Nr. 1, București

Redactor șef
Ing. Ioan VOICU

Redactor
Horia Aramă

• Control științific și tehnic
Ing. Mihai-George Codărni
Ing. Emil Marian
Fiz. Alexandru Mărculescu
Ing. Cristian Ivanciovici

Corespondenți în străinătate
C. Popescu - S.U.A.
S. Lozneanu - Israel
G. Rotman - Germania
N. Turuță & V. Rusu - Republica Moldova
G. Bonihady - Ungaria

Redacția: Piața Presei Libere Nr. 1
Casa Presei Corp C, etaj 1,
camera 119, Telefon: 2240067,
interior: 1444
Telefon direct: 2221916; 2243822
Fax: 2224832; 2243631

Corespondență
Revista TEHNİUM
Piața Presei Libere Nr. 1
Casă Poștală 68, București - 33

Difuzare
Telefon: 224 00 67/1117

Abonamente
la orice oficiu poștal
(Nr. 4120 din Catalogul Presei Române)

Colaborări cu redacțiile din străinătate
Amaterske Radio (Cehia), Elektor & Funk Amateur (Germania), Horizonty Technike (Polonia), Le Haut Parleur (Franța), Modelist Constructor & Radio (Rusia), Radio-Televizia Electronika (Bulgaria), Radiotehnika (Ungaria), Radio Rivista (Italia), Tehnike Novine (Iugoslavia)

Grafica Mariana Stejereanu

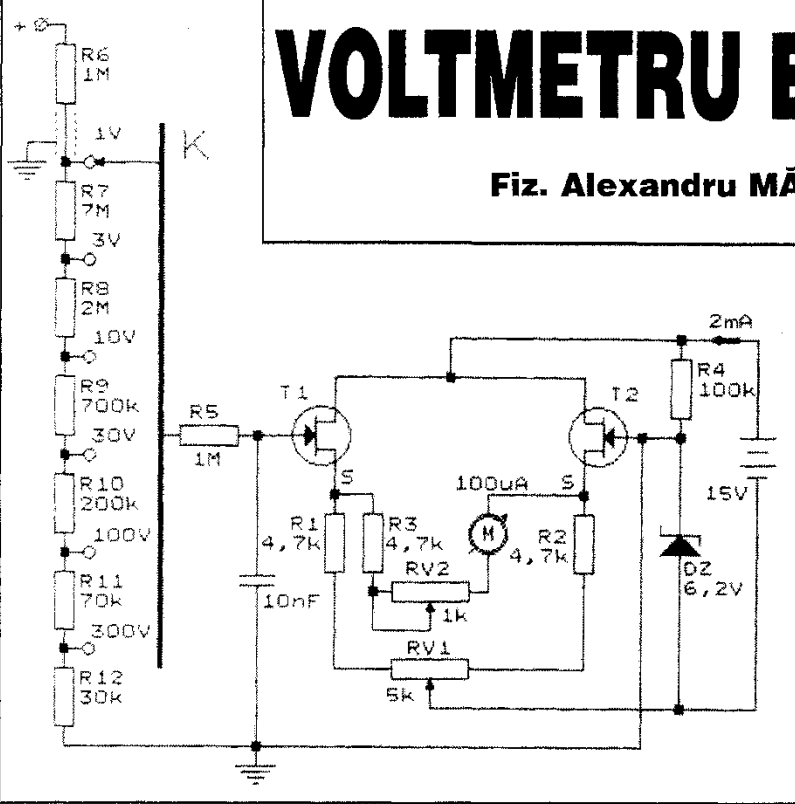
DTP Irina Geambăsu

Editorul și redacția își declină orice responsabilitate în privința opinioilor, recomandărilor și soluțiilor formulate în revistă, aceasta revenind integral autorilor.

Volumul XXX, Nr. 327, ISSN 1224-5925

© Toate drepturile rezervate.
Reproducerea integrală sau parțială este cu desăvârsire interzisă în absența aprobării scrise prealabile a editorului.

Tiparul Romprint SA



VOLTMETRU ELECTRONIC

Fiz. Alexandru MĂRCULESCU

(microampermetru c.c. de $100 \mu\text{A}$) având dublă divizare a scalei, una 0-100 (0-10), iar cealaltă 0-300 (0-30).

Sursa de alimentare o constituie un set de baterii (miniacumulatoare) inseriate, cu tensiunea totală de 15V, consumul montajului fiind de circa 2 mA. Tranzistorul T2, care împreună cu R2 formează un divizor de referință, este polarizat în grilă cu ajutorul diodei Zenner DZ de 6,2 V. Pentru reducerea consumului, însă, dioda DZ a fost alimentată printr-o rezistență R4 de valoare foarte mare (100 kΩ), ceea ce face ca reglajul zeroului (din RV1) să fie dependent puțin de variația tensiunii de alimentare. În schimb, setul bateriilor de alimentare va putea fi utilizat până când tensiunea lui (în sarcină) scade la circa 9 V. „Fuga” zeroului nu ne deranjează prea mult decarece la astfel de montaje reglajul zeroului se refac, oricum, obligatoriu înaintea fiecărui set de măsurători.

Pentru reglajul zeroului se conectează alimentarea (se închide întrerupătorul de alimentare, nefigurat în schemă dar obligatoriu, în serie cu sursa) și se ajustează fin potențiometrul RV1 astfel ca acul instrumentului să indice căt mai exact diviziunea zero. Pe parcursul acestei operații bornele de intrare vor fi libere, iar potențiometrul RV2 va fi dat inițial în poziția cu rezistență inserată maximă.

După acest reglaj urmează etalonarea voltmetru, operație care se poate face pentru un singur domeniu de măsurare. De exemplu, dacă disponem de o sursă cu tensiunea de 30 V.c.c. (căt mai exact măsurată), trecem comutatorul K pe domeniul 30V, aplicăm la intrare (între borna + și borna de masă, nefigurată) această tensiune etalon și ajustăm potențiometrul RV2 astfel ca acul instrumentului să indice exact capul de scală (diviziunea maximă). Este indicat, la prima punere în funcție, să repetăm operațiile de reglaj zero-etalonare, după care vom verifica, prin sondaj, corectitudinea indicațiilor pe celelalte domenii de măsurare.

În cazul în care reglajul zeroului nu este posibil (tensiunea bateriei fiind „buna”), avem de a face cu o nesimmetrie inaceptabilă a „punții”, cauză probabilă reprezentând-o proasta împerecheare a tranzistoarelor sau eventuala defectare a uneia dintre ele pe parcursul realizării montajului.

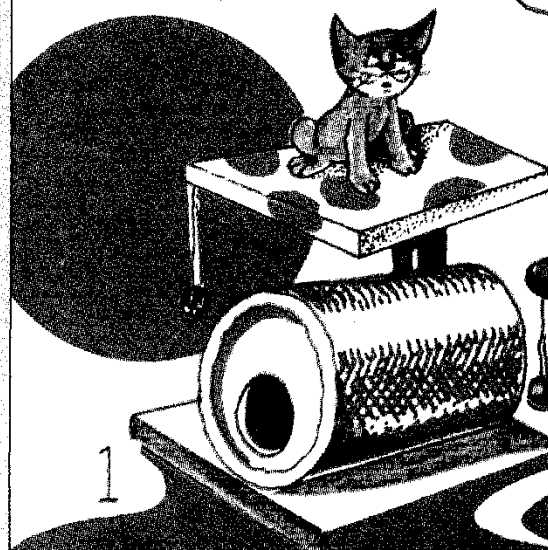
În diagonala de măsurare se poate folosi eventual un microampermetru M de altă sensibilitate ($50 \mu\text{A}$ sau $60 \mu\text{A}$ la cap de scală), cu redimensionarea adecvată a rezistențelor adiționale R3 și RV2.

Într-un articol recent am reamintit principiul de funcționare și avantajele voltmetrelor electronice „în puncte”. Alăturat vă propunem un alt exemplu, de această dată realizat cu două tranzistoare cu efect de câmp cu grila jonctiune (J-TEC sau J-FET).

Cele două FET-uri, T1 și T2, în configurație de „amplificator” diferențial, sunt în conexiunea cu drenă comună (repetoare pe sursă), deci montajul nu amplifică, de fapt, în tensiune, având un câștig subunitar. În schimb, el prezintă o impedanță enormă de intrare, ceea ce permite utilizarea unui divizor de intrare cu rezistență totală de ordinul zecilor de megaohmi. În exemplul dat, divizorul (R6-R12) are rezistență totală de 11 MΩ, fiind calculat pentru sase domenii de măsurare, între 1 V și 300 V tensiuni continuă. Desigur, o astfel de impedanță presupune ecranarea atență a blocului de intrare și a cordoanelor de măsurare (cabluri ecranațe, cu ecranul conectat la masă, respectiv la cutia metalică a voltmetru), ca și izolarea corespunzătoare a componentelor. Rezistoarele din divizor vor fi cu peliculă metalică, din clasa de precizie de 1% sau cel mult 2%, verificate în prealabil și la nevoie chiar sortate, astfel încât să putem efectua etalonarea pentru unul singur din cele sase domenii, ea păstrându-se suficient de precis și pentru celelalte cinci domenii.

Cele două FET-urile vor fi de același tip (BFW10, 2N3819 sau similar), „împerecheate” căt mai bine. De exemplu, se poate improviză un circuit de probă cu un FET în conexiune DC

LOCURI de ODIHNA și JOACĂ pentru ... PISICI

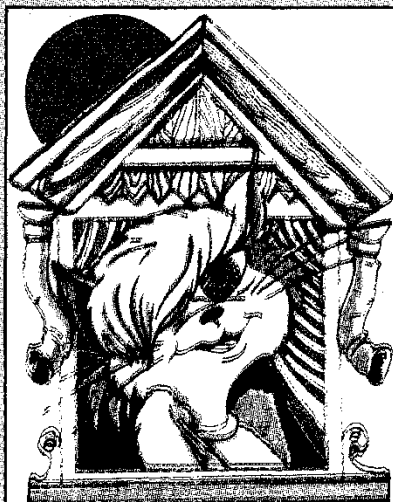
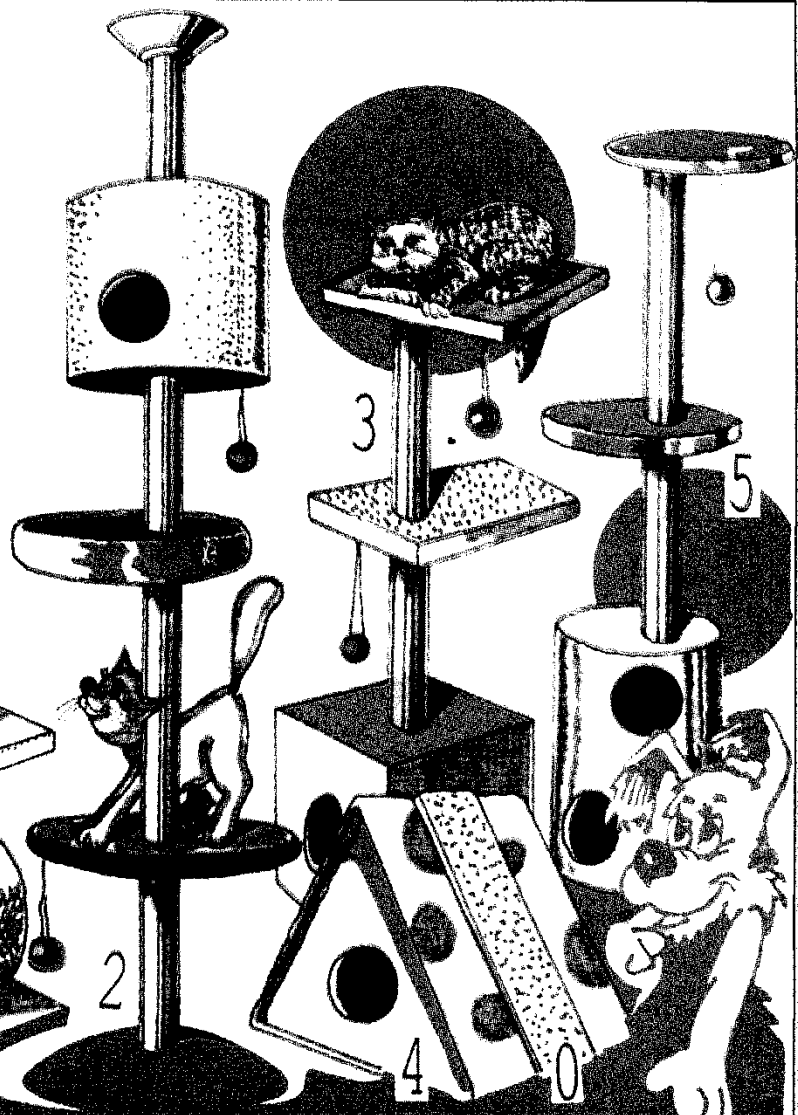


După câine, pisica este animalul preferat, crescut în multe case și apartamente. Pe lângă multă afecțiune, ele au nevoie, mai ales în primii ani de viață, și de locuri pentru odihnă, joacă, unde să se cătere ori să-și ascuță ghearele.

În imagini apar cinci sugestii în legătură cu felul în care puteți să le construiți - noștri și necostisitor - astfel de instalații.

1. "Popasul pisicii" este alcătuit dintr-o bucătă de pal groasă de 18 mm sau scândură de 25-30 mm, care constituie fundația. Pe aceasta se montează (cu suruburi întăritate pe dedesubt) o cutie cilindrică ori de altă formă din material plastic, metal, carton gros (recuperată de la un ambalaj). Apoi, într-un colt, se fixează un stâlp de lemn (o bucătă de creanga lăsată în coajă sau un capăt de grindă) mai înalt decât cutia cu circa 300 mm, iar pe capătul său se instalează „punctul de observație și pândă”, adică o bucătă de scândură pe care s-au dat câteva pete de vopsea. La unul din colțurile acestei scânduri, nu poate lipsi „o sfocăru cu motocel la capăt”...

2. Ceva mai complex - dar mult mai spectaculos - montajul al doilea se construiește de-a lungul unei grinzi de



lemn (chiar trunchi de arbore) fixată la capete pe dușumea și tavan într-un colț al încaperii. De-a lungul ei se instalează două-trei terase, iar sus de tot dormitorul-punct de veghe, plus nelișitul motocel.

3. Lung doar până la jumătatea înălțimi camerei, cel de-al treilea montaj are locul pentru odihnă de

formă cubică așezat chiar la bază. Din „ză” se înalță o bară de lemn, pe înălțimea căreia sunt fixate (prin cuie bătute sub ele) două platforme.

4. Modest, modelul 4 este lucrat din cinci plăci triunghiulare de pal sau placăj îmbinate, ca în figură, cù câteva suruburi. Piesa montată (O) este o simplă bucată de scândură brută, fixată cu două cuie, pe care pisica își va ascuții ghearele de câteva ori pe zi, crățând astfel fotoliile, cariapelele, picioarele meselor și ale scaunelor.

5. Ultimul montaj este o variantă a celui identificat cu 3, dar are un dormitor cilindric prevăzut cu două orificii.

ATENȚIE! a) În fiecare încăpere pentru dormit așezati o bucătă groasă de covoraș, mochetă, blană, flanelă veche, ori o pernă; b) orificiile de intrare vor fi strâmtă, astfel încât măța să poată intra doar fără săndu-se în... vizuină. Faceți curățenie și deparazitați în fiecare săptămână.

În fața atâtór delicii îspititoare, cățelușului familiei nu-i va mai rămane decât să... facă zâmbre. Însă cei ai casei se vor amuză copios privind căte ghiđușii vor săvârși ele, adorante, lipicioasele pisici zbenguindu-se și „antrenându-se” pe aceste aparte.

Instalații pentru USCAT Rufe

Pentru cei care locuiesc în apartamente situate în blocuri, uscarea rufelor spălate ridică adesea probleme. Când acestea nu sunt în cantitate prea mare, pot fi întinse în camera de baie, lăsându-se deschisă fereastra pentru aerisire. Desenele alăturate vă sugerează patru tipuri diferite de mici dispozitive și instalații, care se folosesc selectiv, în funcție de tipul, mărimea și grosimea rufelor.

Materiale necesare: scândură de brad groasă de 20 mm; șipci de scândură de brad groasă de 30 mm; doi scripeti metalici (din cei care se folosesc la galerile pentru perdele) sau două cărlige cu șurub; sărmă de fier galvanizat sau de aluminiu groasă de 3 mm ori cablu electric monofilar izolat cu material plastic; sărmă de fier galvanizat groasă de 5 mm; stoară groasă, împletită.

Primul model: uscător general. Tăiați din scândură două piese identice, care au oarecum forma literei V cu laturile larg deschise, aşa cum observați în figura 1. Practicați în ele șase-opt orificii necesare pentru introducerea sărmelor. Montați-le

apoi rigid, cu ajutorul șipci, pe care o fixați cu șuruburi pentru lemn. Întindeți sărmalele între cele două extremități, folosind, de preferință, un singur fir lung, continuu. În loc de sărmă puteți întrebunțua un fir de material plastic (gută) gros.

Suportul astfel construit va trebui montat (mobil) în tavan. În acest scop, scobiți acolo două orificii de formă cubică și fixați în ele două dibruri de lemn (cu ajutorul unei paste preparate din ipsos, apă și aracelin), în care ati înșurubat dinante scripetii. După 12 ore, instalați suportul-uscător pe scripetii cu ajutorul unui șnur de sfoară groasă (împletită în triei).

Desigur, dispozitivul de uscare poate fi instalat și într-o poziție fixă, în care caz el va fi legat la tavan cu snur pe două cărlige înșurubate în dibruri. Atenție! a) greutatea totală a rufelor (umede) puse la uscat nu trebuie să depășească 8 kg; b) când luați de pe sărmă rufele uscate, ridicăți-le cu mâna, NU le trageti în jos.

Al doilea model este recomandat pentru rufe de mici dimensiuni (batiste, servete de masă, malouri etc.). Se lucrează în întregime din sărmă, ca în figura 2. Cadru se confectionează din sărmă groasă de 5 mm, iar barele din sărmă cu diametrul de 2-3 mm. Suportul (mobil) se instalează peste porțiunea acoperită cu plăci de faianță, cu ajutorul unor cărlige fixate cu dibruri în perete.

Al treilea model (fig. 3) folosește pentru uscat clorapi sau mici tricotaje din lână ori fir sintetic (fulare, manusi, căciulite). Se lucrează tot din sărmă, ca și modelul al doilea, și se instalează deasupra chiuvetei, pentru ca apa să se scurgă fără a umede dușumeaua.

Al patrulea model este folosit mai ales pentru uscarea unor rufe groase și grele (prosoape mari, pulovere, flanele din piele vătuite, carpete etc.), din care, când sunt puse la uscat, se scurge multă apă. Il confectionați numai din sărmă groasă, alcătuind două părți pliante, și-l instalați deasupra căzii de baie, aşa cum reiese din figura 4.

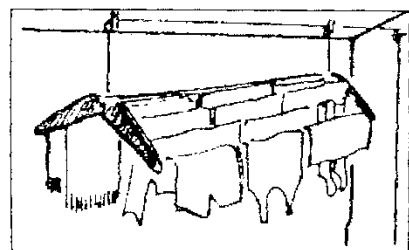


Fig. 1

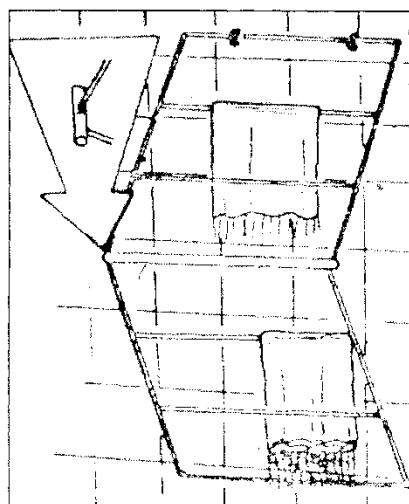


Fig. 2

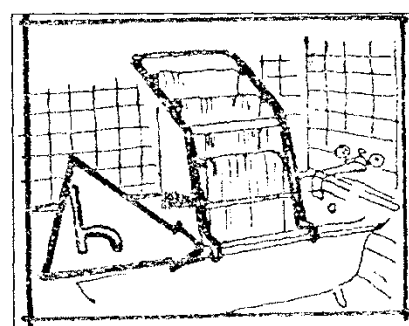


Fig. 4

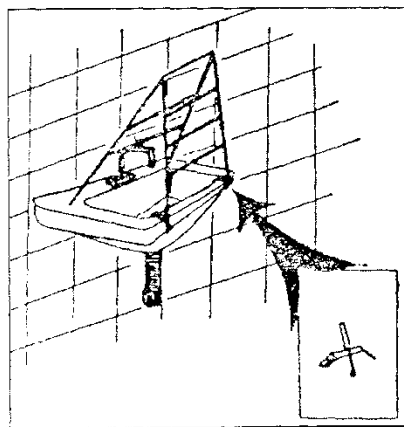
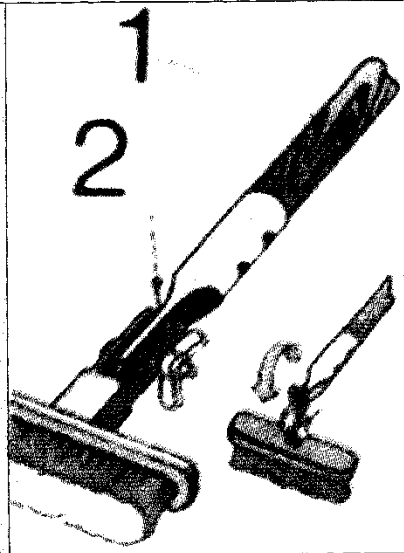


Fig. 3

PERIE cu poziție REGLABILĂ

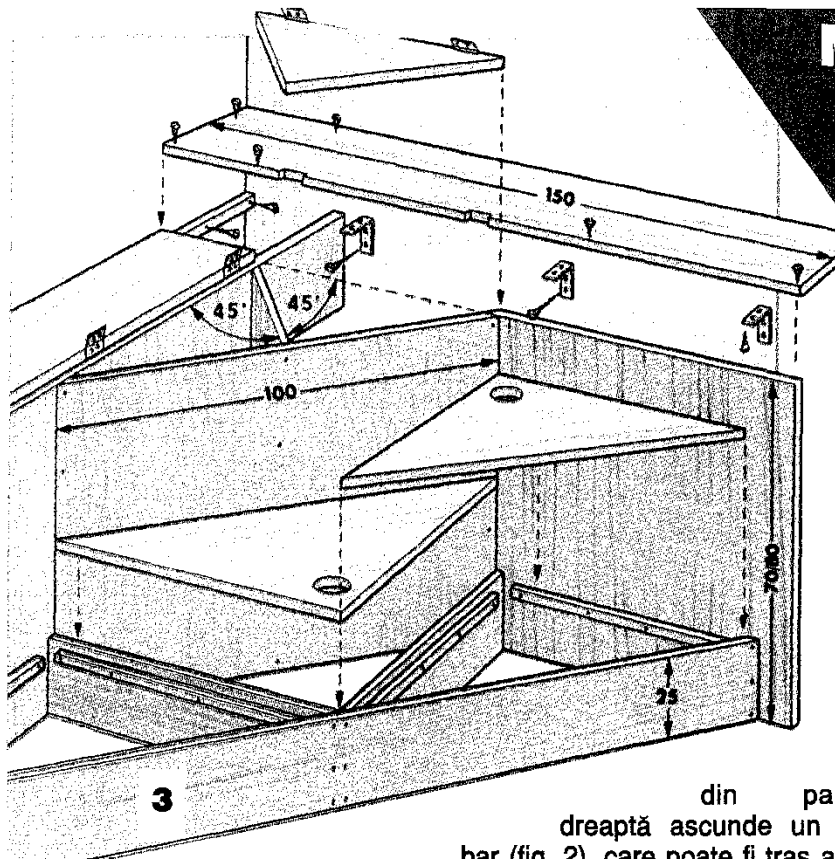
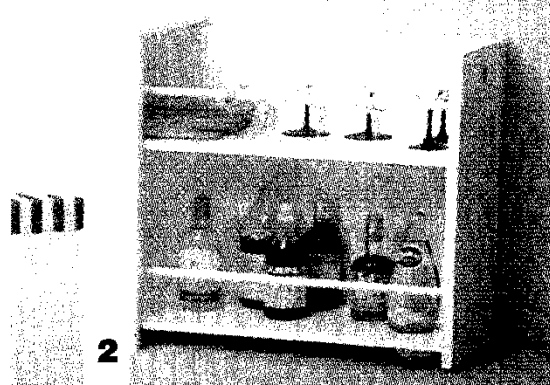
Pentru a curăta - lesne și eficient - praful, pânzele de păianjen sau a spăla pe sub mobile cu picioare scurte, construți și folosiți o perie cu coada reglabilă, ca aceea pe care o vedeti în figură.



Piesa ei principală este şarniera (2), prevăzută cu un șurub metalic sau din material plastic și o piuliță-fluture (la nevoie chiar hexagonală). Piesa (2) o puteți lucra din lemn sau metal și o veți fixa de perie cu ajutorul a două șuruburi pentru lemn sau metal, introduse printre firele de păr ale periei. Pe coada (1) fixați (cu două șuruburi pentru lemn) o bucătă de țeavă al cărei capăt liber îl aplatați cu ciocanul și în care dați apoi un orificiu. Diametrul acestuia va fi cu foarte puțin mai mare decât cel al șurubului cu piuliță-fluture. Slăbind și strângând piulița respectivă, puteți da periei poziția necesară pentru a pătrunde în spațiile înguste și la colțuri.

TEHNUMO

BANCHETĂ pentru un colț de cameră



Acestă mobilă complexă ocupă o suprafață mică într-un colț de cameră, dar oferă, totuși, un confort aparte, valorificând util un spațiu care rămâne, uneori, liber, nefolosit. După cum observați în figura 1, ea se compune din:

- a) Două corpuri laterale, așezate chiar lângă perete.

b) Bancheta alcătuită din trei compartimente de formă triunghiulară, acoperite cu „capace”. Fața acestora este tapită cu burete din material plastic gros de

30-40 mm,
din partea

dreaptă ascunde un mic

bar (fig. 2), care poate fi tras afară

pe rotile.

Cel din spate are latura superioară (față)

fixată cu două balamale.

Astfel, în interiorul său

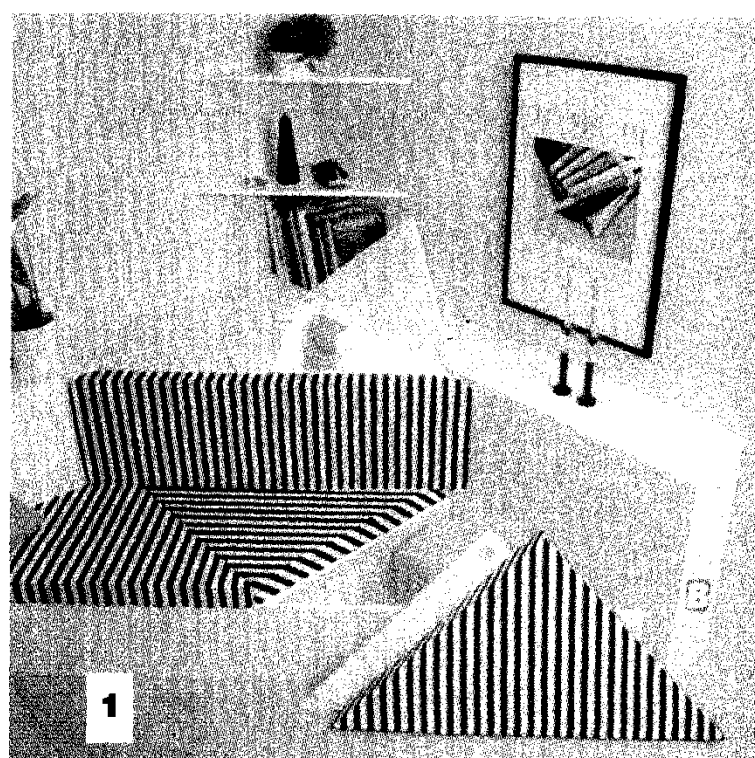
pot fi păstrate perne, pături etc.

b) Bancheta alcătuită din trei

compartimente de formă triunghiulară, acoperite cu „capace”.

Fața acestora este tapită cu

burete din material plastic gros de



MEŞTERUL CASEI

20-40mm,
fixat, pe dea-
supra, cu stofă de
mobilă montată prin cuișoare
de tapiterie. și în interiorul
acestor compartimente pot fi
păstrate la îndemână unele obiecte.

Materialul de bază necesar
construcției este palul sau panelul
gros de 18 mm. La acesta se
adaugă, pentru montare, șuruburi
pentru lemn, balamale și piese
metalice în formă de L. Formele
pieselor componente și dimen-
siunile lor (date în cm) sunt
prezentate în figura 3 - schema de
asamblare.

După dorință, puteți completa
construcția cu 1-2 polițe triun-
ghiulare, fixate în unghiul de 90° al
peretilor, o pernă dreptunghiulară
așezată vertical pe latura din
spatele banchetei (reazem), unele
obiecte de decor, o veioză etc.

La montaj, pentru fixarea la
perete a unor piese, dați orificiile
necesare cu burghiuri cu cap vidă
și folosind, eventual, o bormașină
cu percuție. În orificiile astfel
rezultate introduceți dibluri din
material plastic, care vor fixa
rezistent șuruburile, ori folosiți
dispozitive tip conexpan. Părțile din
material lemnos pot fi vopsite cu
vopsea alchidică.

PRET: 7 000 LEI